

บทที่ 4

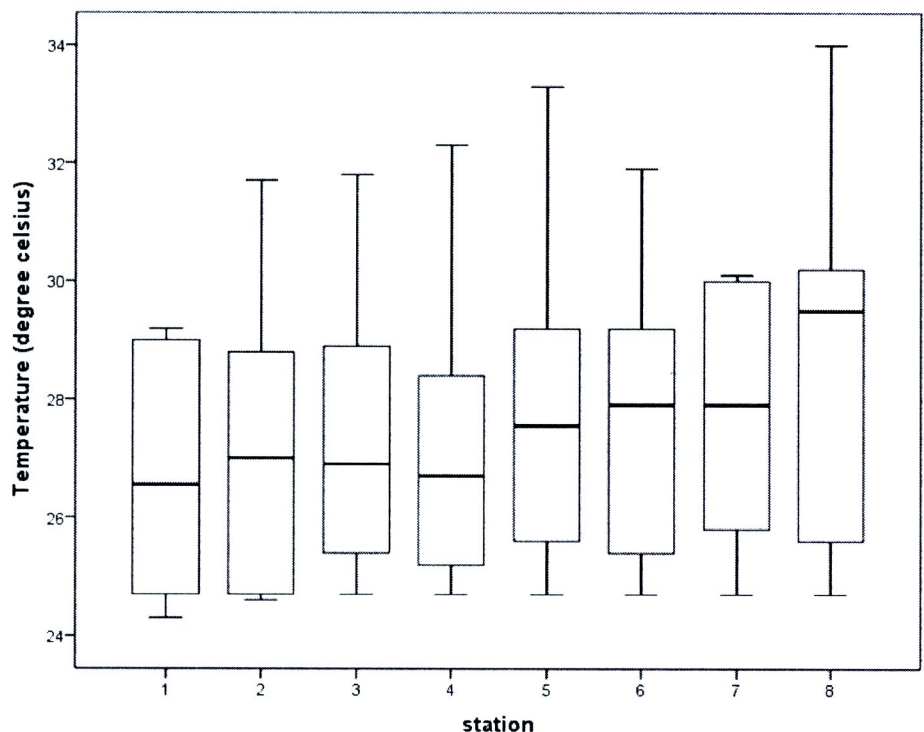
ผลการวิจัยและวิจารณ์ผล

ตัวอย่างน้ำถูกเก็บทุก ๆ 2 เดือน (ตั้งแต่เดือนพฤษภาคม พ.ศ. 2552 ถึง เดือนกันยายน พ.ศ. 2553) จากชุดเก็บน้ำจำนวนทั้งสิ้น 8 สถานี ทำการศึกษาคุณภาพน้ำทั้ง 3 ด้าน ประกอบด้วย ด้านกายภาพ เ化เคมี และชีวภาพ สำหรับดัชนีที่ทำการตรวจวัด ได้แก่ อุณหภูมิของน้ำ ความเป็นกรด - เปส (pH) การนำไฟฟ้า ความเค็ม ความลึก การส่องผ่านของแสง ความชุ่น ปริมาณออกซิเจนละลายน้ำ (DO) ความต้องการออกซิเจนทางชีวเคมี (BOD) แอมโมเนีย - ในไตรเจน ($\text{NH}_3\text{-N}$) ในไตรท์ - ในไตรเจน ($\text{NO}_2\text{-N}$) ในเตรท์ - ในไตรเจน ($\text{NO}_3\text{-N}$) พอกฟอรัสทั้งหมด (TP) ของแข็งละลายน้ำทั้งหมด (TDS) โคลิฟอร์มแบคทีเรีย และ *Escherichia coli* รายละเอียดของผลการวิจัยสามารถแสดงได้ดังนี้

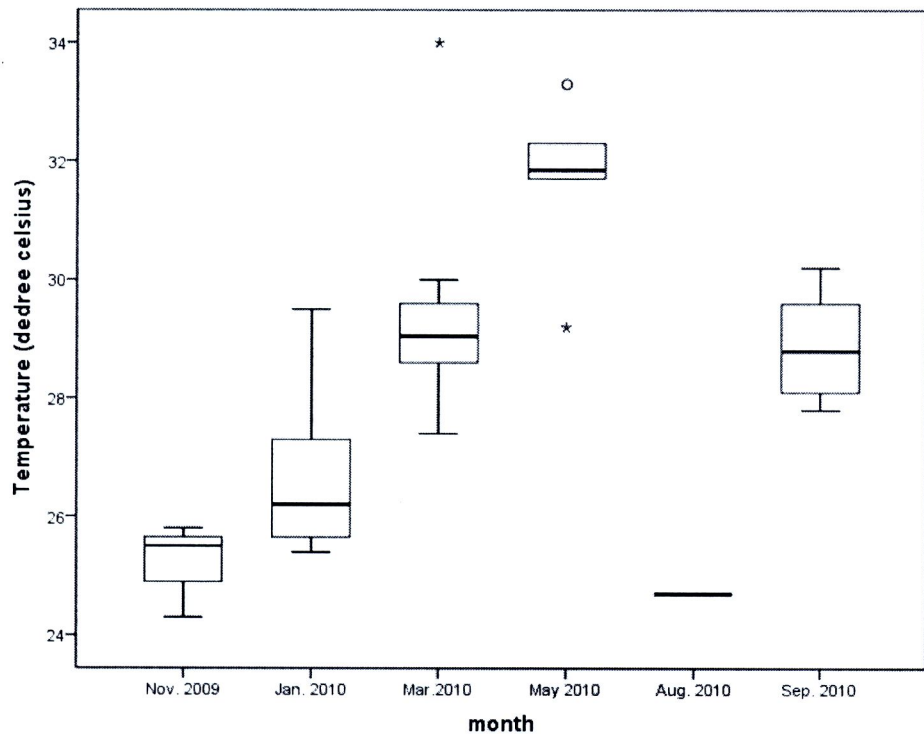
4.1 คุณภาพน้ำบึงละหาน จ. ชัยภูมิ ปี พ.ศ. 2552- 2553

4.1.1 อุณหภูมิของน้ำ

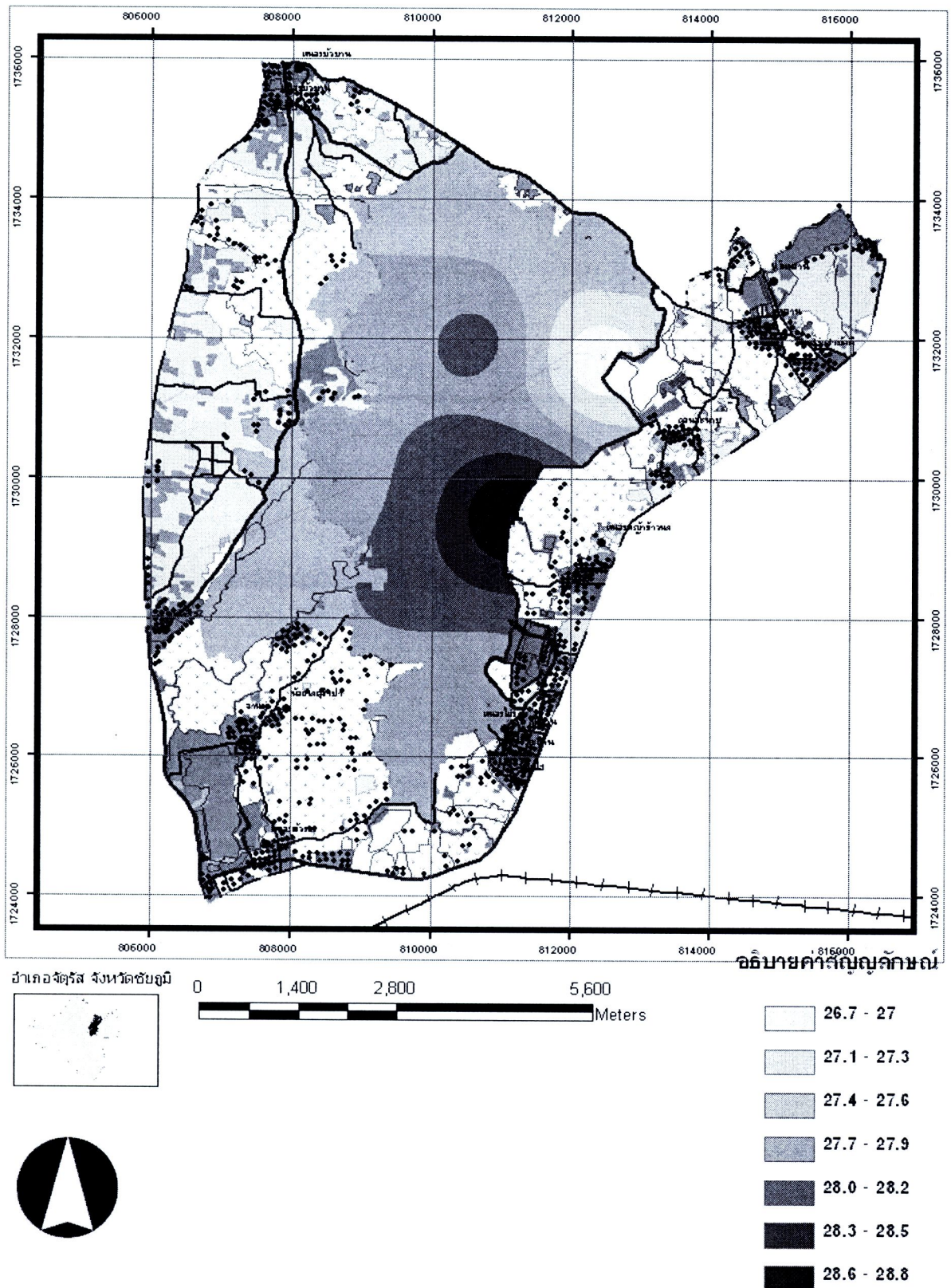
ค่าอุณหภูมิของน้ำจะมีการเปลี่ยนแปลงไปตามฤดูกาลและช่วงของเวลา (ภาพที่ 5 6 และ 7) โดยพบว่าแต่ละสถานีมีค่าอุณหภูมิของน้ำไม่แตกต่างโดยมีค่าอยู่ในช่วง 26.7 - 34.0 องศาเซลเซียส โดยสถานีที่ 8 มีค่าเฉลี่ยสูงสุด 28.8 องศาเซลเซียส โดยที่อุณหภูมิของน้ำลดลงปีมีค่าเฉลี่ยเท่ากับ 27.8 องศาเซลเซียส เดือนที่มีค่าอุณหภูมิสูงสุด คือ เดือนพฤษภาคม พ.ศ. 2553 ซึ่งมีอุณหภูมิเฉลี่ยเท่ากับ 31.7 องศาเซลเซียส รองลงมา ได้แก่ เดือนมีนาคม พ.ศ. 2553 มีอุณหภูมิเฉลี่ยเท่ากับ 29.5 องศาเซลเซียส และเดือนที่มีค่าอุณหภูมิเฉลี่ยต่ำสุด คือ เดือนสิงหาคม พ.ศ. 2553 โดยพบค่าอุณหภูมิเฉลี่ยเท่ากับ 24.7 องศาเซลเซียส



ภาพที่ 5 การเปลี่ยนแปลงอุณหภูมิของน้ำ ($^{\circ}\text{C}$) แต่ละสถานี



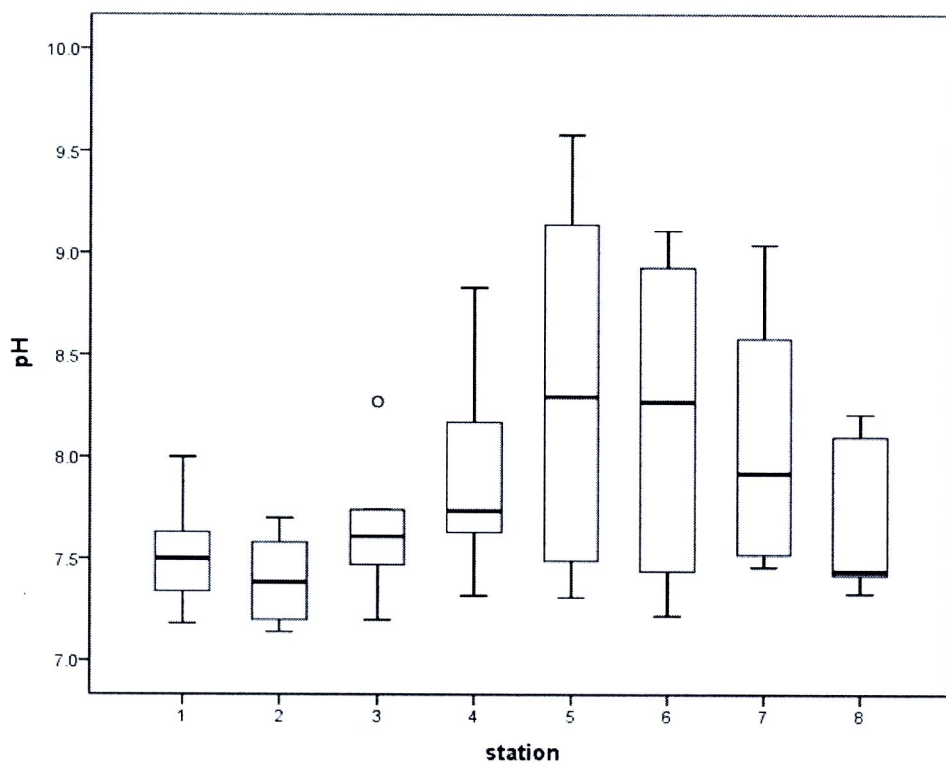
ภาพที่ 6 การเปลี่ยนแปลงอุณหภูมิของน้ำ ($^{\circ}\text{C}$) แต่ละเดือน



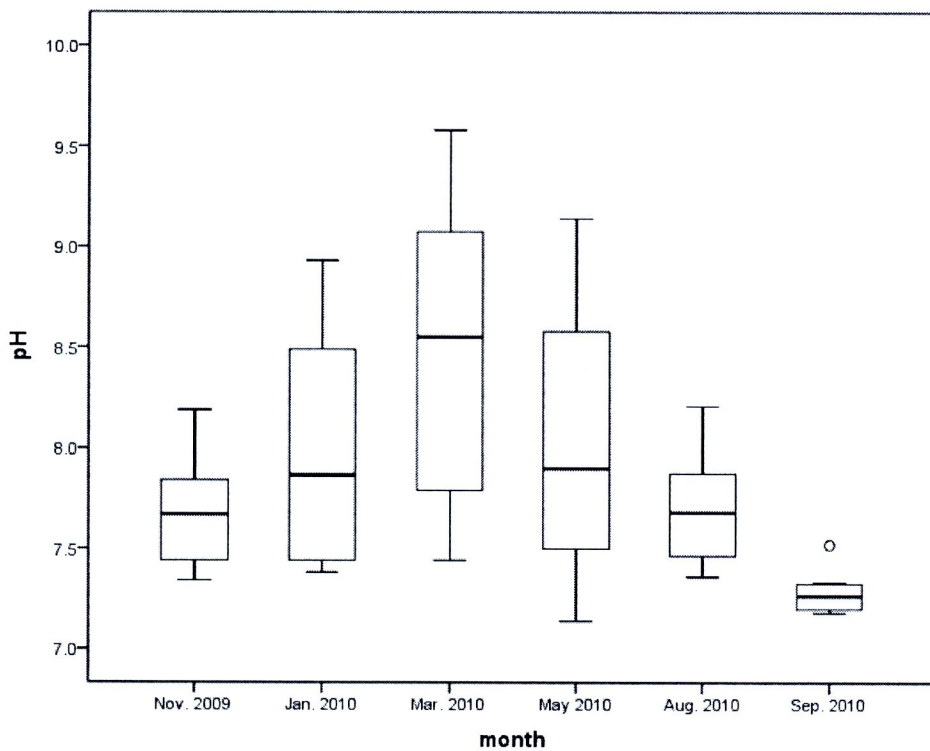
ภาพที่ 7 แผนที่การเปลี่ยนแปลงอุณหภูมิของน้ำ ($^{\circ}\text{C}$) แต่ละสถานี

4.1.2 ความเป็นกรด - เบส

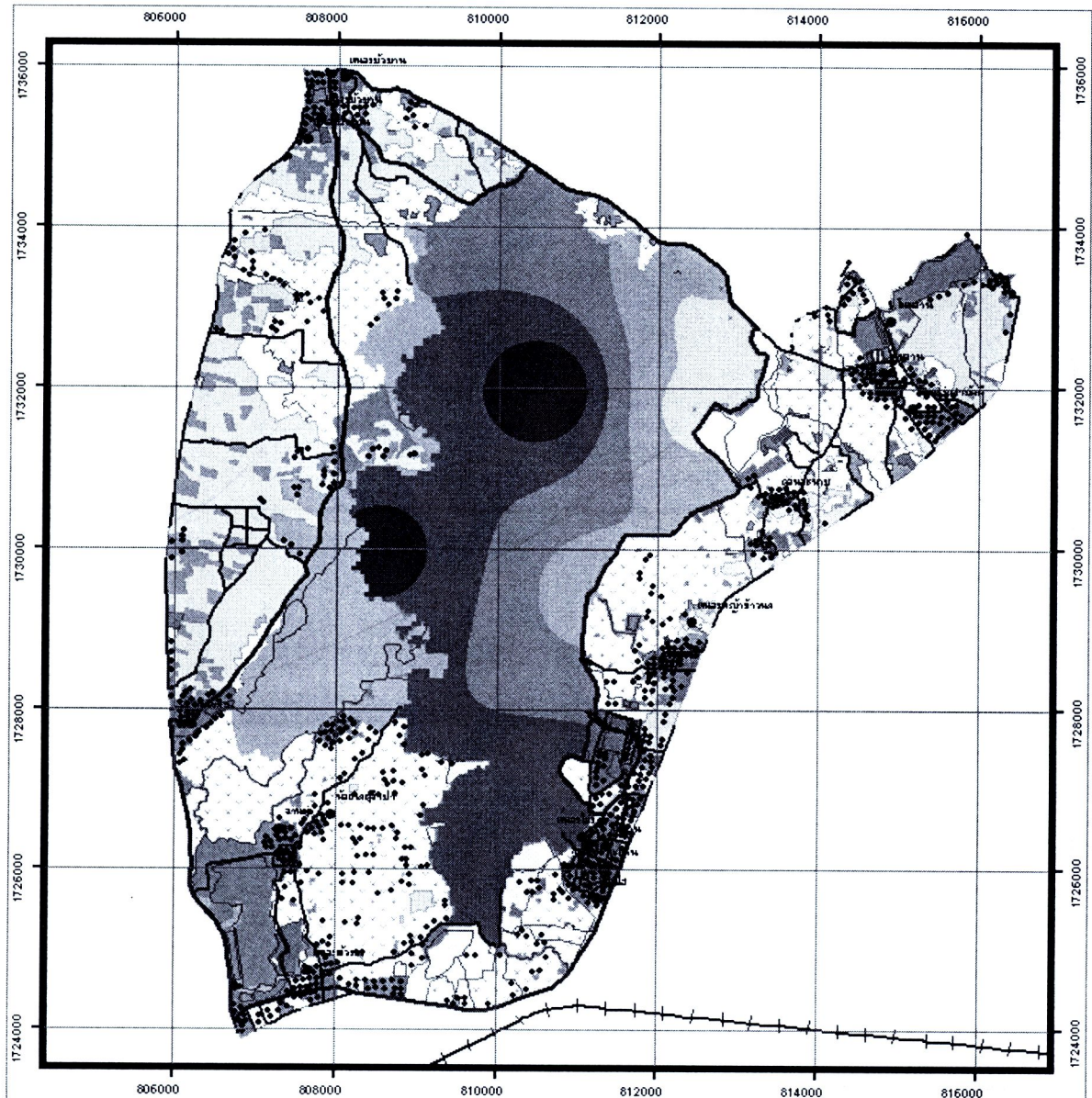
จากการตรวจค่าความเป็นกรด-เบส ของน้ำในบึงทะเลน พนว่าค่า pH ในแต่ละสถานี และแต่ละเดือนมีค่าค่อนข้างใกล้เคียงกัน โดยมีค่าเฉลี่ยอยู่ในช่วง 7.29 - 8.48 เดือนที่มีค่า pH เฉลี่ย สูงสุดคือ เดือนมีนาคม พ.ศ. 2553 ส่วนเดือนที่มีค่า pH เฉลี่ยต่ำสุด คือ เดือนกันยายน พ.ศ. 2553 (ภาพที่ 8 9 และ 10)



ภาพที่ 8 การเปลี่ยนแปลง pH ของน้ำแต่ละสถานี



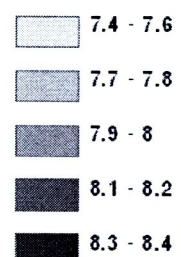
ภาพที่ 9 การเปลี่ยนแปลง pH ของน้ำต่ำลังเดือน



เข้าสู่ชั้นหินด้วยมี

0 1,400 2,800 5,600 Meters

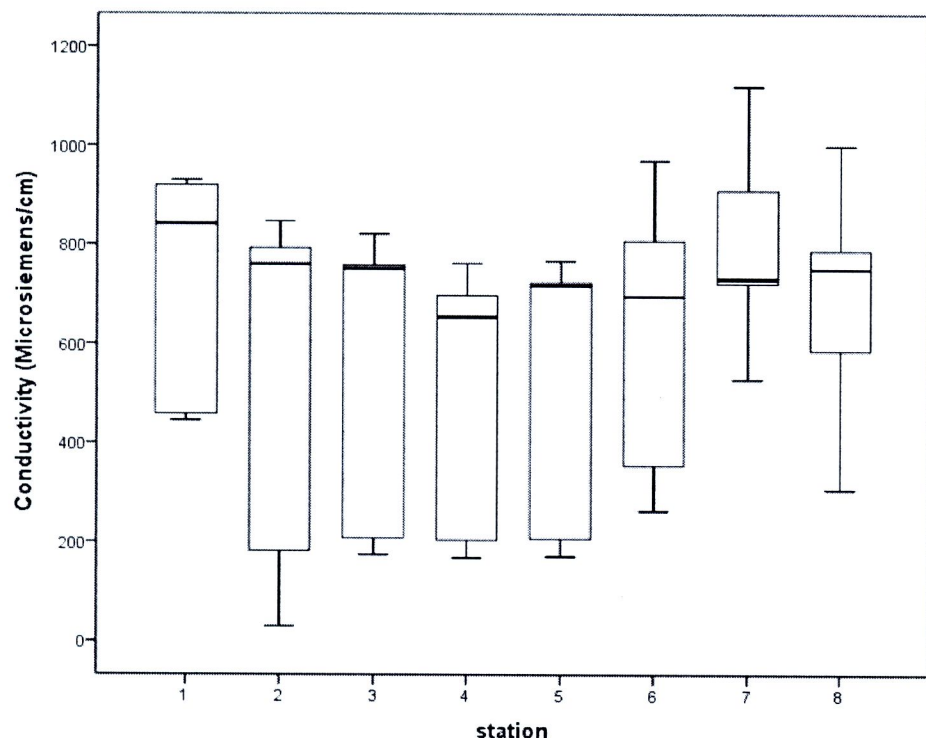
อัตราการเปลี่ยนแปลง pH



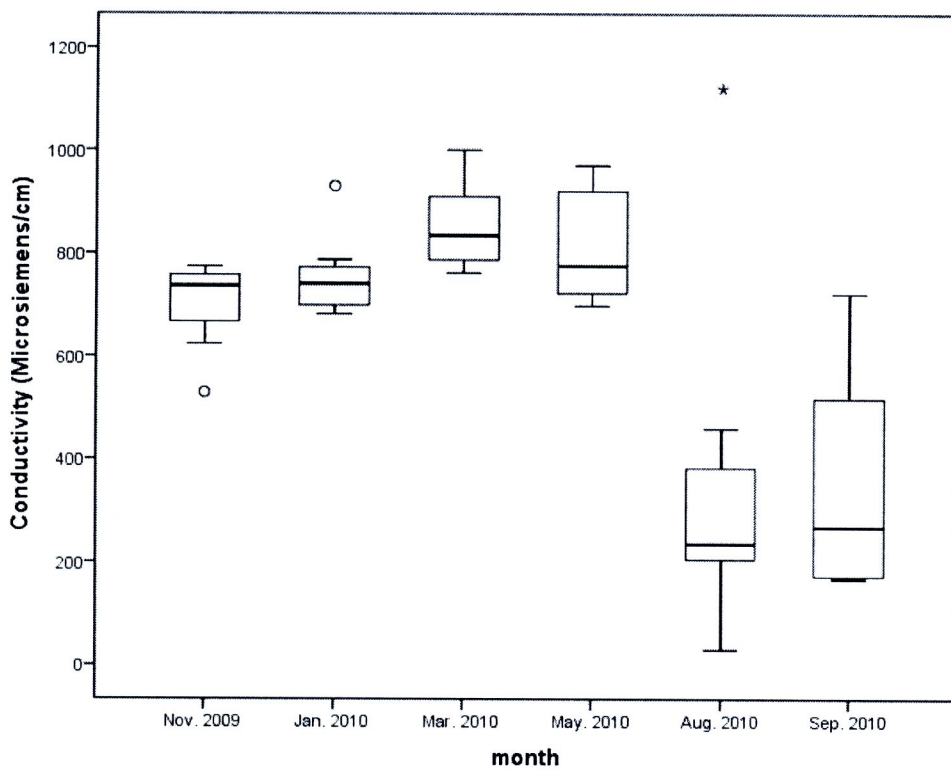
ภาพที่ 10 แผนที่การเปลี่ยนแปลง pH ของน้ำแต่ละสถานี

4.1.3 การนำไฟฟ้า

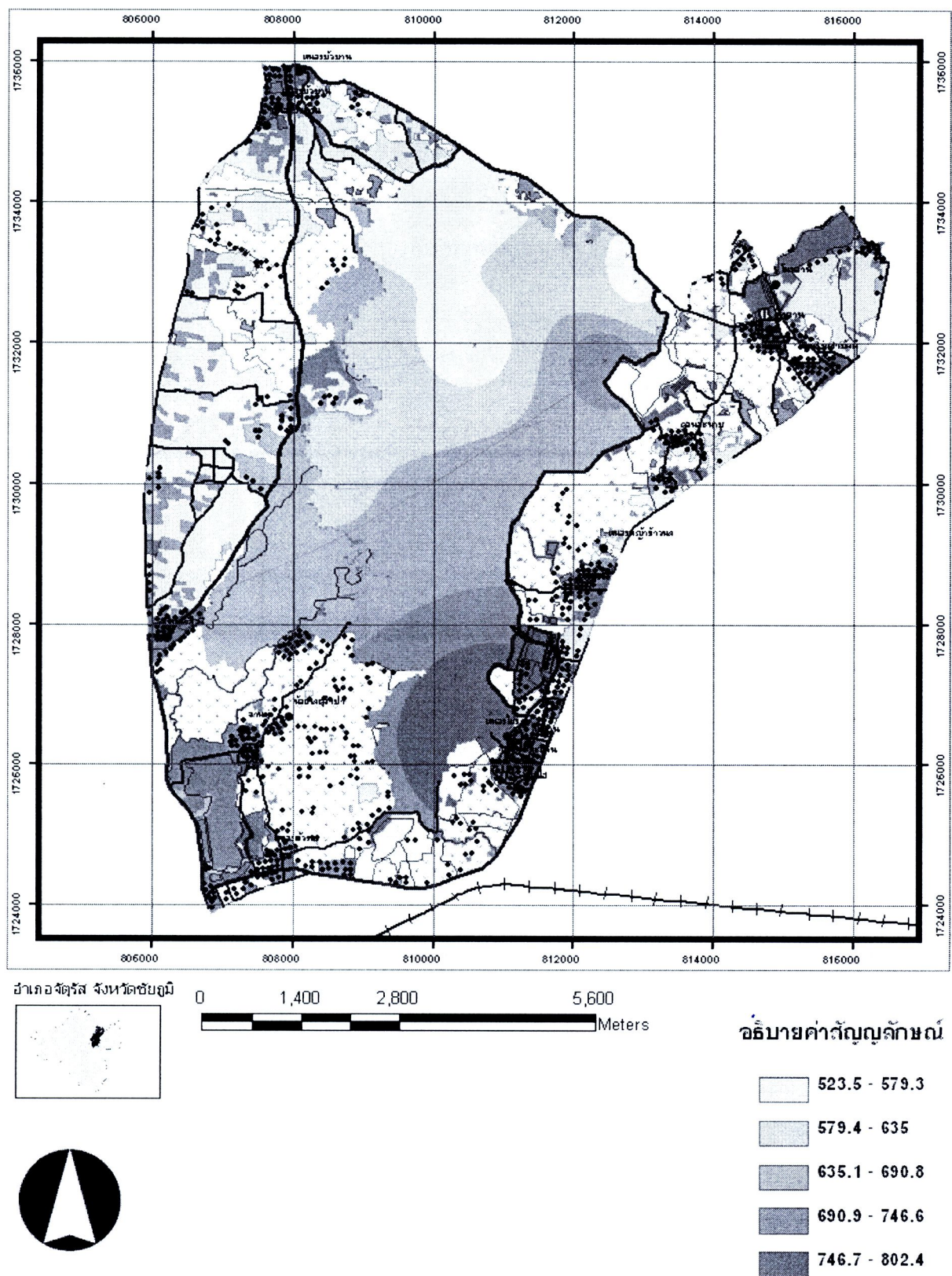
ค่าการนำไฟฟ้าที่ได้จากการศึกษาครั้งนี้มีค่าเฉลี่ยอยู่ในช่วง 350 - 853 ไมโครซีเมนต์ต่อเซนติเมตร เดือนมีนาคม พ.ศ. 2553 คือ เดือนที่มีค่าการนำไฟฟ้าสูงสุด กล่าวคือ มีค่าเฉลี่ยเท่ากับ 853 ไมโครซีเมนต์ต่อเซนติเมตร รองลงมา คือ เดือนพฤษภาคม พ.ศ. 2553 มีค่าเฉลี่ยเท่ากับ 810 ไมโครซีเมนต์ต่อเซนติเมตร สาเหตุที่ทำให้การนำไฟฟ้ามีค่าสูงในช่วงเวลาดังกล่าวเนื่องจากช่วงดังกล่าวเป็นช่วงฤดูร้อน จึงทำให้การเกิดกระบวนการย่อยสลายของอนทรียสารที่มาก นอกจากนี้ยังเกิดจากมีการชะล้างอนินทรียสารบนผิวดินอีกด้วย ส่วนเดือนที่มีค่าการนำไฟฟ้าต่ำ ได้แก่ เดือนสิงหาคม และ กันยายน พ.ศ. 2553 โดยมีค่าเฉลี่ยเท่ากับ 350 และ 351 ไมโครซีเมนต์ต่อเซนติเมตร ตามลำดับ ขณะที่สถานีที่มีค่าการนำไฟฟ้าสูงที่สุด คือ สถานีที่ 7 หรือ บริเวณคลาเจ้าพ่อ-โรงสูบน้ำประปา (ภาพที่ 11 12 และ 13) ทั้งนี้อาจมีสาเหตุมาจาก มีการตั้งถิ่นฐานและเข้าไปใช้ประโยชน์โดยชุมชนที่อาศัยอยู่บริเวณใกล้ ๆ กับสถานีดังกล่าว



ภาพที่ 11 การเปลี่ยนแปลงการนำไฟฟ้า ($\mu\text{S}/\text{cm}$) แต่ละสถานี



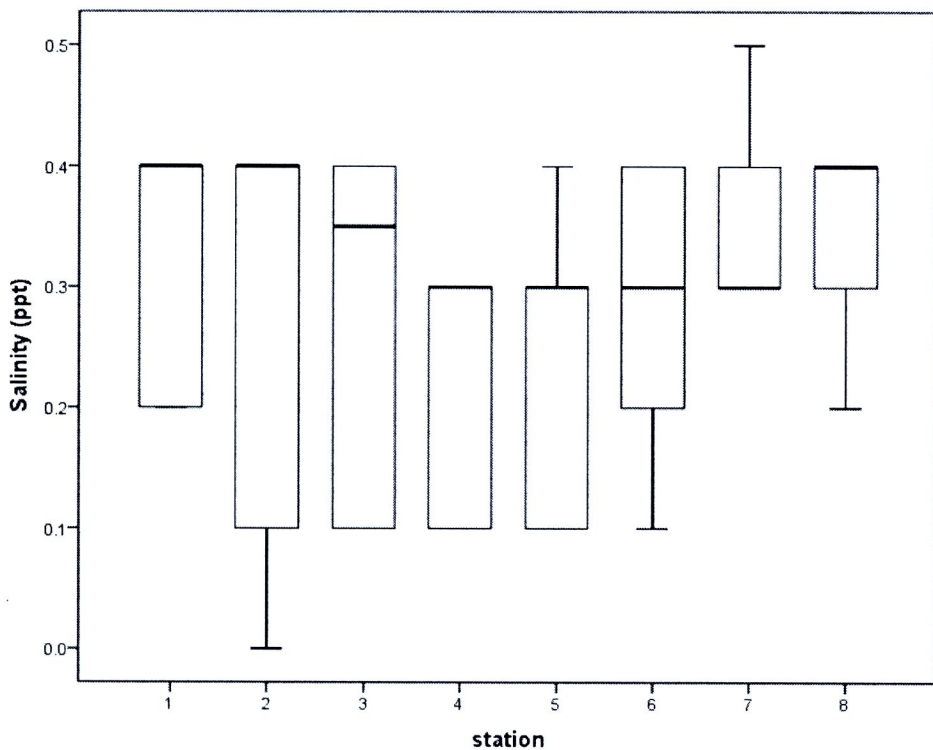
ภาพที่ 12 การเปลี่ยนแปลงการนำไฟฟ้า ($\mu\text{S}/\text{cm}$) แต่ละเดือน



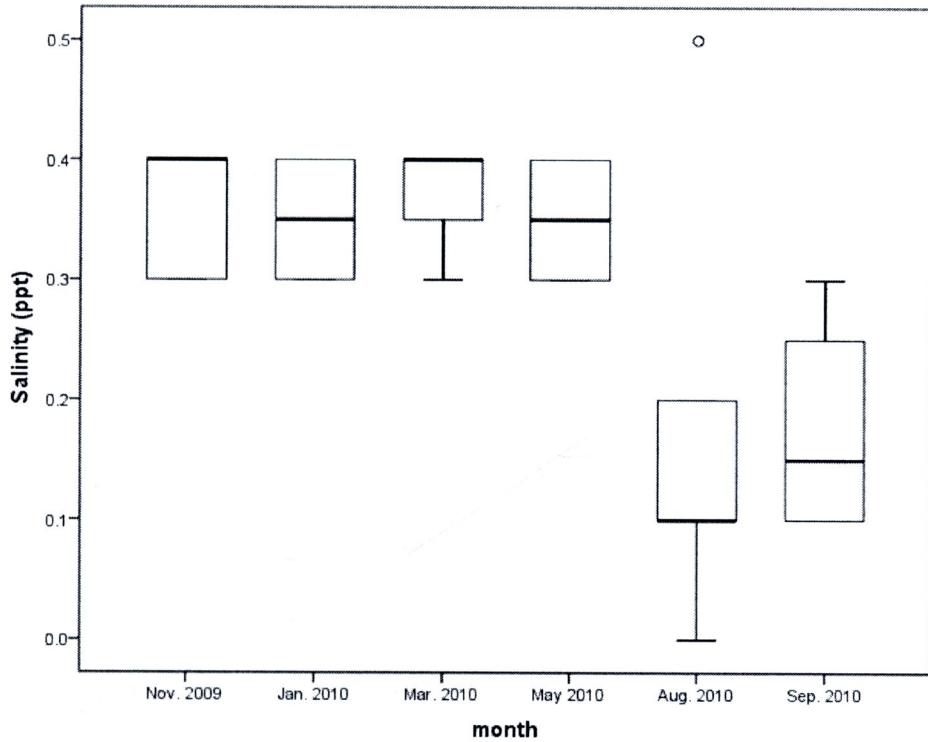
ภาพที่ 13 แผนที่การเปลี่ยนแปลงการนำไฟฟ้า ($\mu\text{S}/\text{cm}$) แต่ละสถานี

4.1.4 ความเค็ม

จากการศึกษาครั้งนี้ พบว่า ค่าความเค็มเฉลี่ยมีค่าอยู่ในช่วงระหว่าง 0.2 - 0.4 ppt โดยเดือนพฤษภาคม พ.ศ. 2552 มกราคม มีนาคม และพฤษภาคม พ.ศ. 2553 มีค่าความเค็มเฉลี่ยสูงเท่ากัน (ภาพที่ 14 15 และ 16) กล่าวคือ มีค่าความเค็มเฉลี่ยเท่ากับ 0.4 ppt นอกจากนี้ขังพบอิก 2 เดือนที่มีค่าความเค็มเฉลี่ยเท่ากัน นั่นคือ เดือนสิงหาคม และ กันยายน พ.ศ. 2553 โดยมีค่าเฉลี่ยเท่ากับ 0.2 ppt

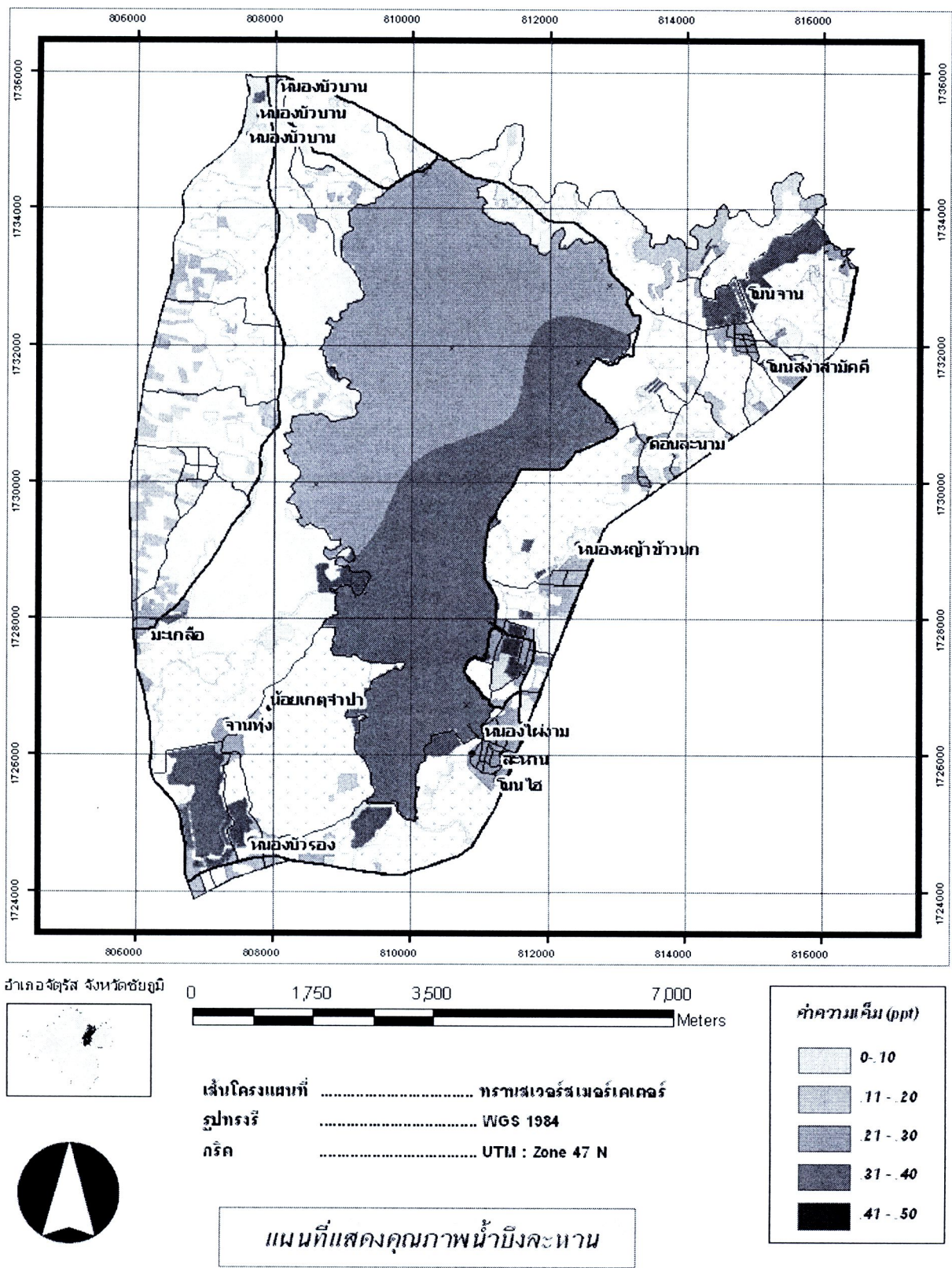


ภาพที่ 14 การเปลี่ยนแปลงความเค็ม (ppt) แต่ละสถานี



ภาพที่ 15 การเปลี่ยนแปลงความเค็ม (ppt) แต่ละเดือน

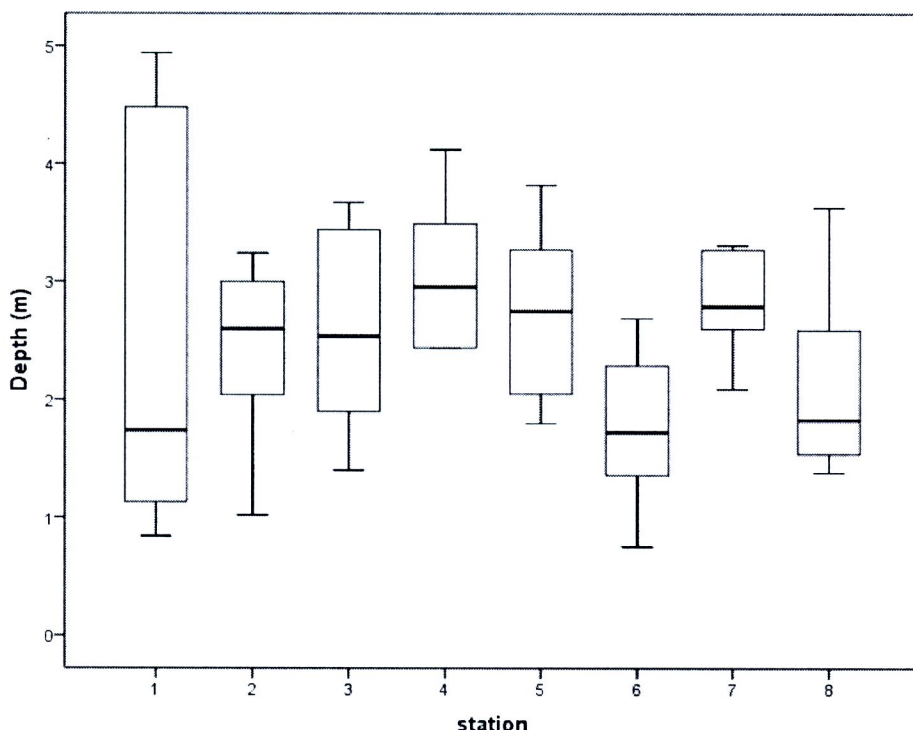
จากข้อมูลข้างต้นสามารถสรุปได้ว่าช่วงฤดูแล้ง (น้ำในแหล่งน้ำมีน้อย) ค่าความเค็มจะมีค่าสูงทั้งนี้เกิดจากการที่นำไนโตรเจนลงไประดับเกลือหินที่อยู่ใต้ดิน ทำให้เกิดการแพร่ขึ้นสู่ชั้นบนนอกจากนี้ ข้อมูลในอดีตังได้แสดงไว้ว่า พื้นที่บริเวณโดยรอบมีผลกระทบโดยมีการทำนาเกลือมา ก่อน (พงศ์เทพ จันทรชิต, 2550) ดังนั้นจึงทำให้ค่าความเค็มที่ตรวจวัดได้มีค่าก่อนข้างสูงเมื่อเปรียบเทียบกับแหล่งน้ำจืดทั่วไป อุบล ໄร์กีตาน ค่าความเค็มที่ตรวจวัดได้ดังกล่าว ไม่มีอันตรายต่อการดำรงชีวิตของสัตว์น้ำ เพราะโดยทั่วไปแล้วแหล่งน้ำจืดจะมีค่าความเค็มอยู่ระหว่าง 0.0 - 0.5 ppt



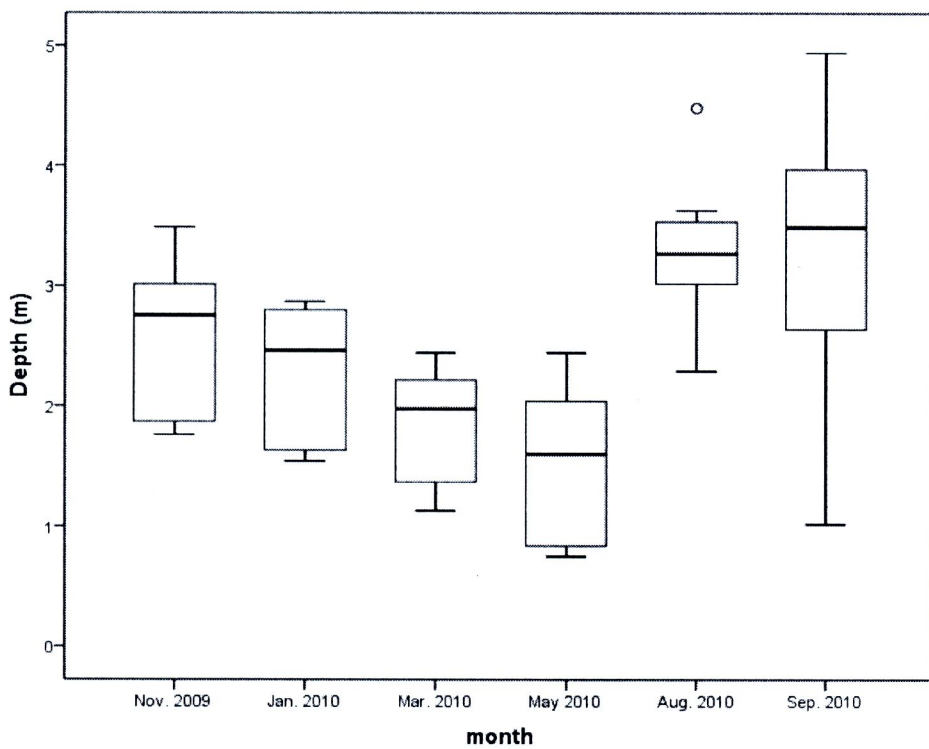
ภาพที่ 16 แผนที่การเปลี่ยนแปลงความเรื้อรัง (ppt) แต่ละสถานี

4.1.5 ความลึก

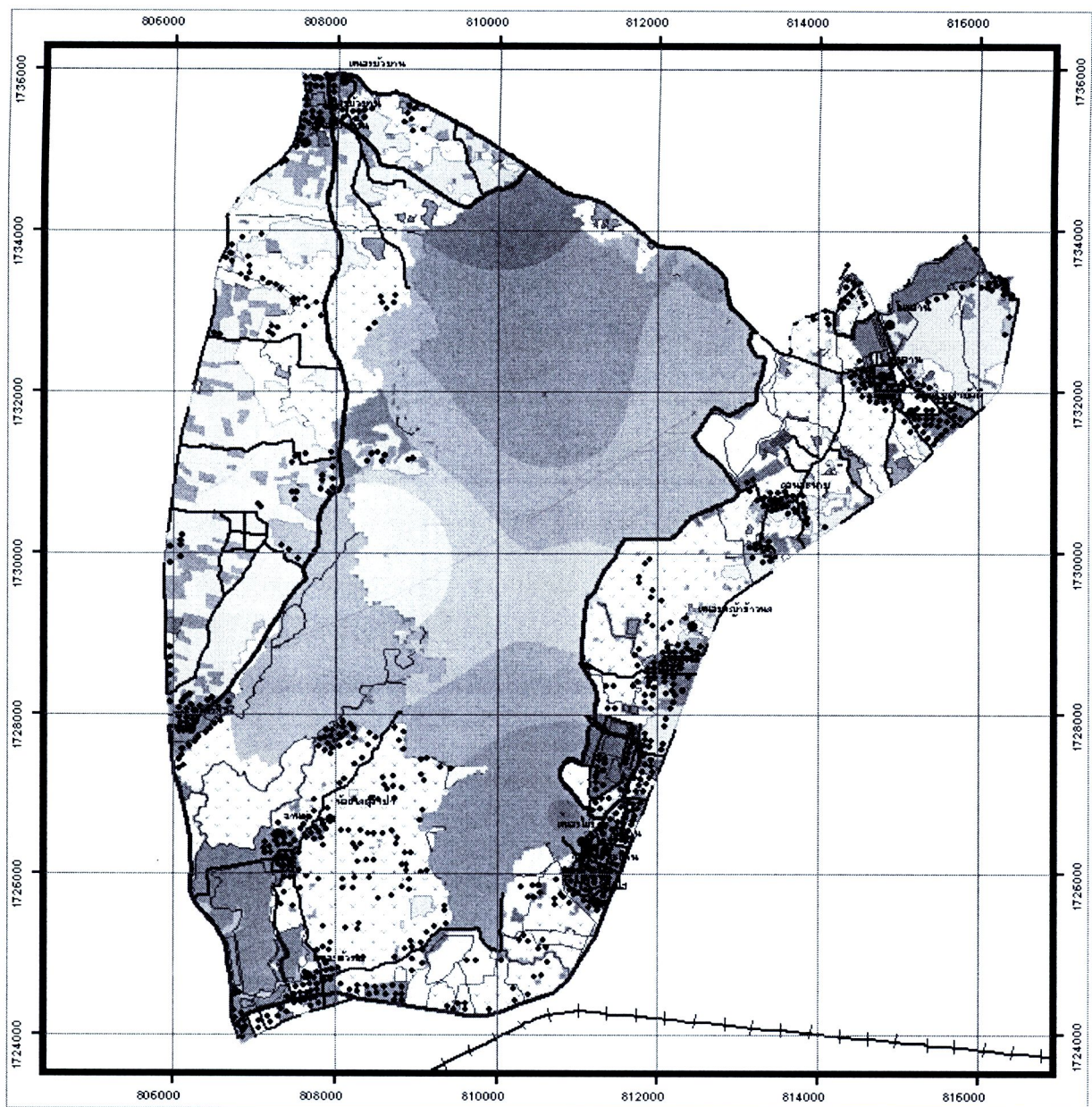
ค่าความลึกที่ตรวจวัดได้ พบว่ามีค่าเปลี่ยนแปลงไปตามฤดูกาล โดยในฤดูแล้ง เดือน พฤษภาคม พ.ศ. 2553 มีค่าความลึกเฉลี่ยเท่ากับ 1.55 เมตร ส่วนในฤดูฝน เดือนสิงหาคม และ กันยายน พ.ศ. 2553 มีค่าความลึกเฉลี่ยเท่ากับ 3.30 และ 3.27 เมตร ตามลำดับ โดยในเดือน พฤษภาคม พ.ศ. 2552 มกราคม มีนาคม และ พฤษภาคม พ.ศ. 2553 บริเวณสถานีเก็บตัวอย่างที่ 4 (คลองยายแก้ว) เป็นบริเวณที่มีค่าความลึกสูงสุด แต่ในช่วงเดือนสิงหาคม และ กันยายน พ.ศ. 2553 บริเวณที่มีค่าความลึกมากที่สุด คือบริเวณลำคันธู (ภาพที่ 17 18 และ 19) ทั้งนี้เนื่องจากช่วงเวลาของเดือนที่ทำการตรวจวัดดังกล่าว กำลังดำเนินการก่อสร้างโครงการแก้มลิง (ตั้งแต่บริเวณลำคันธู ทางทิศตะวันออกของบึงละหารลาด ไปจนถึงทางทิศตะวันออกเฉียงเหนือ บริเวณคลองยายแก้ว) จึงได้มีการขุดลอกคลองใหม่ขึ้น ส่งผลให้บริเวณดังกล่าวมีค่าความลึกสูงกว่าบริเวณอื่นๆ (สำนักงานชลประทานที่ 6, 2553)



ภาพที่ 17 การเปลี่ยนความลึก (m) แต่ละสถานี



ภาพที่ 18 การเปลี่ยนความลึก (m) แต่ละเดือน



เข้าเมืองจังหวัดชลบุรี

0 1,400 2,800 5,600 Meters

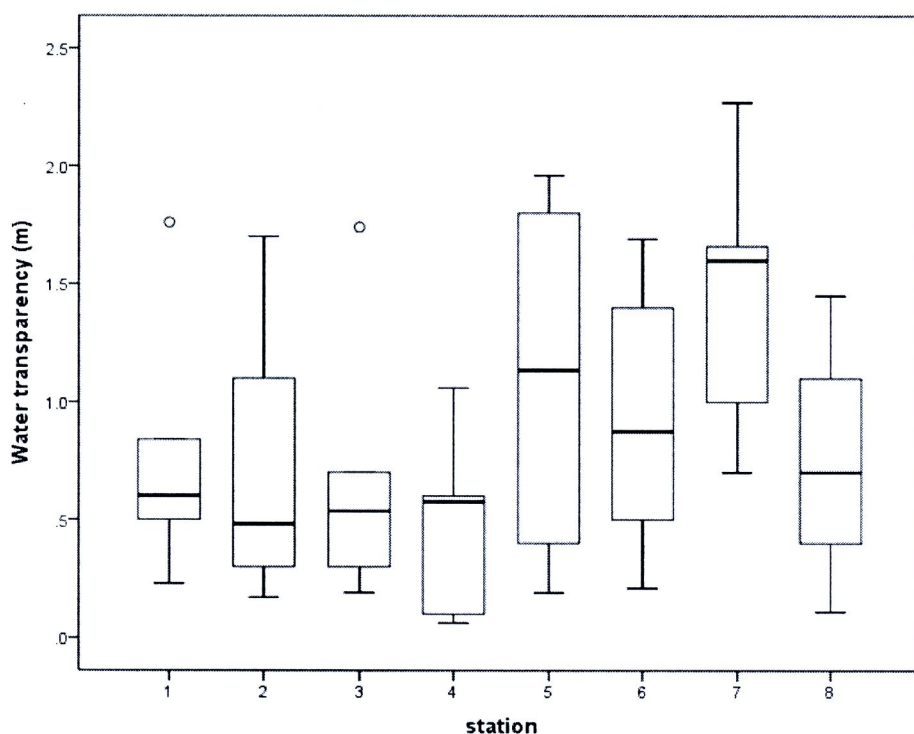
อัตราค่าดัชนีลักษณ์



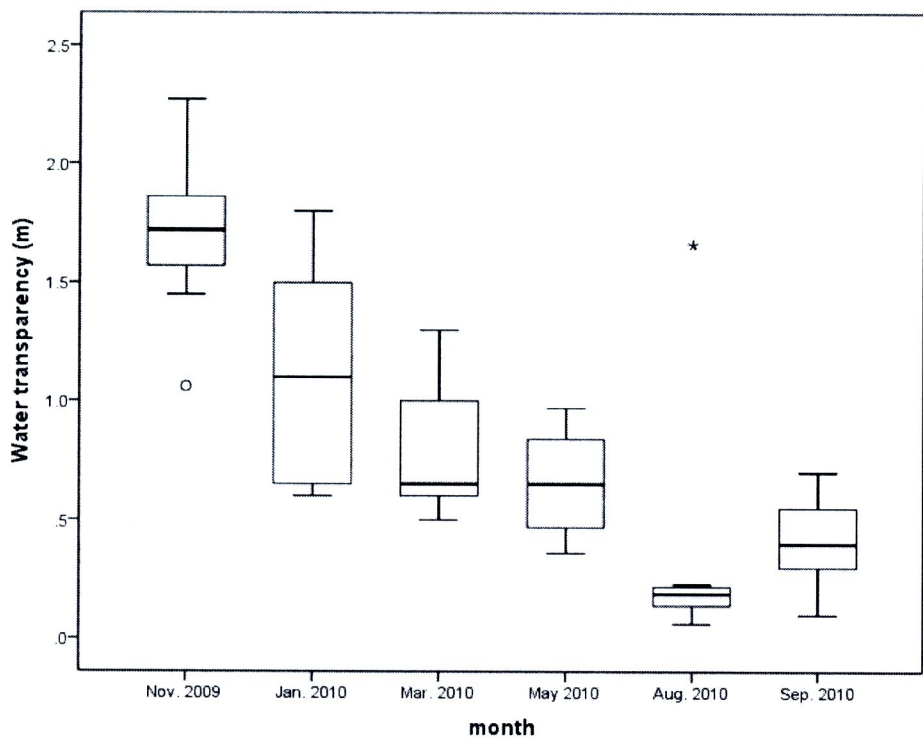
ภาพที่ 19 แผนที่การเปลี่ยนแปลงความลึก (m) แต่ละสถานี

4.1.6 การส่องผ่านแสงของน้ำ

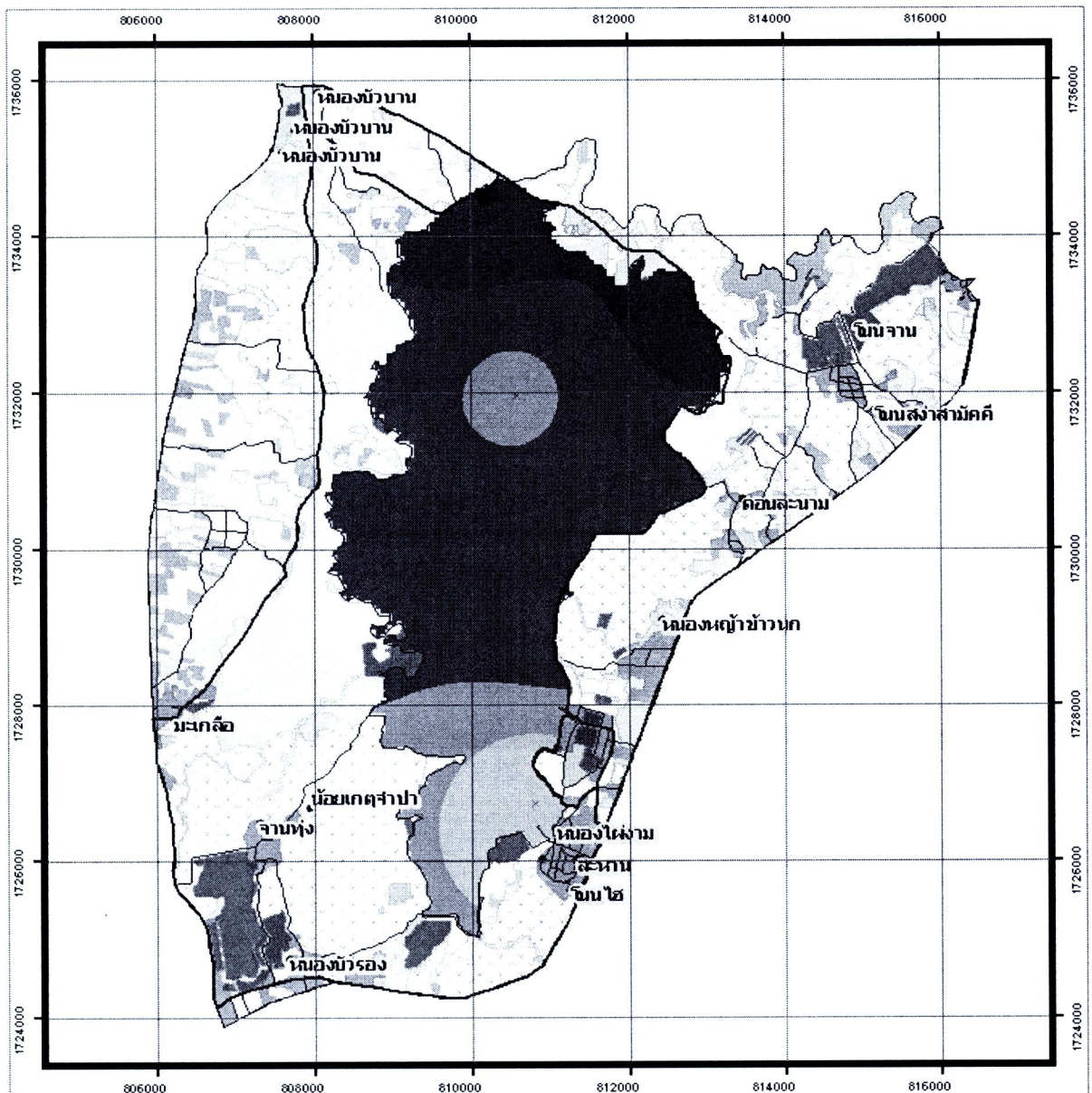
ค่าการส่องผ่านแสงที่ได้จากการตรวจวัดในการศึกษาครั้งนี้มีค่าเฉลี่ยอยู่ในช่วง 0.35 - 1.70 เมตร ทั้งนี้พบว่า เดือนพฤษภาคม พ.ศ. 2552 มีค่าการส่องผ่านแสงสูงสุด รองลงมา ได้แก่ เดือน มกราคม มีนาคม และพฤษภาคม พ.ศ. 2553 มีค่าเท่ากับ 1.70 เมตร 1.1 เมตร 0.8 เมตร และ 0.66 เมตร ตามลำดับ ส่วนในเดือนสิงหาคม (0.35 เมตร) และกันยายน พ.ศ. 2553 (0.41 เมตร) พบว่าค่า การส่องผ่านแสงที่ตรวจวัดได้มีค่าค่อนข้างน้อย (ภาพที่ 20 21 และ 22) ซึ่งน่าจะมีสาเหตุมาจากการ ของเดือนดังกล่าว ได้มีการก่อสร้างโครงการแก้มลิง (สำนักงานชลประทานที่ 6, 2553) ประกอบกับ ฝนที่ตกชุก จึงทำให้ค่าที่ตรวจวัดได้มีค่าดังที่ได้กล่าวมาข้างต้น ขณะที่เมื่อพิจารณาเป็นรายสถานี พบว่า สถานีที่ 7 บริเวณศาลาเจ้าพ่อ - โรงสูบน้ำประปา มีค่าการส่องผ่านแสงมากที่สุด คือเท่ากับ 1.45 เมตร รองลงมา คือ สถานีที่ 5 หรือ กลางบึง (1.10 เมตร) และ สถานีที่ 6 หรือ หัวยกอก (0.93 เมตร) ตามลำดับ โดยสถานีดังกล่าวเหล่านี้มีพื้นที่ขึ้นค่อนข้างหนาแน่น ทำให้ในบางช่วงที่ตรวจวัด จะ พนกรตามดงพืชค่อนข้างมาก ซึ่งส่งผลต่อค่าการส่องผ่านแสงที่ตรวจวัดได้นั่นเอง



ภาพที่ 20 การเปลี่ยนแปลงการส่องผ่านแสงของน้ำ (m) แต่ละสถานี



ภาพที่ 21 การเปลี่ยนแปลงการส่องผ่านแสงของน้ำ (m) แต่ละเดือน



มาเกอเรียร์ จังหวัดเชียงใหม่

0 1,750 3,500 7,000 Meters



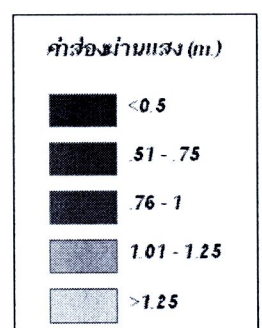
เลื่อนโครงແນาที่ ภาระสเวเดอร์ສൈເອຣ์ໂຄເຄອർ

ฐานที่ WGS 1984

กริด UTM : Zone 47 N



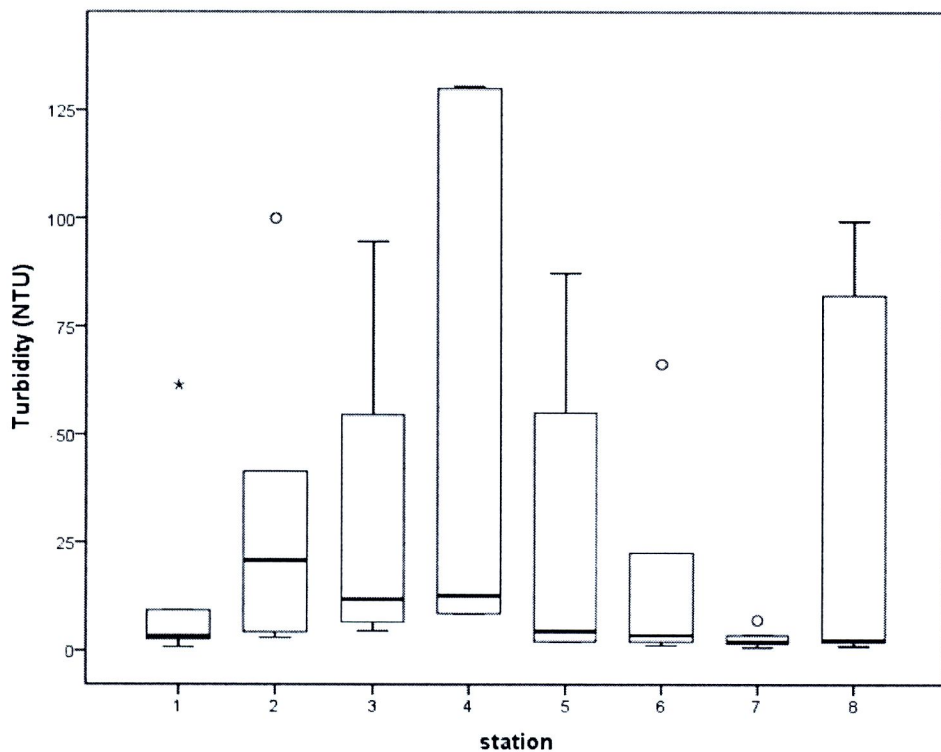
แผนที่แสดงคุณภาพน้ำมีน้ำลึก



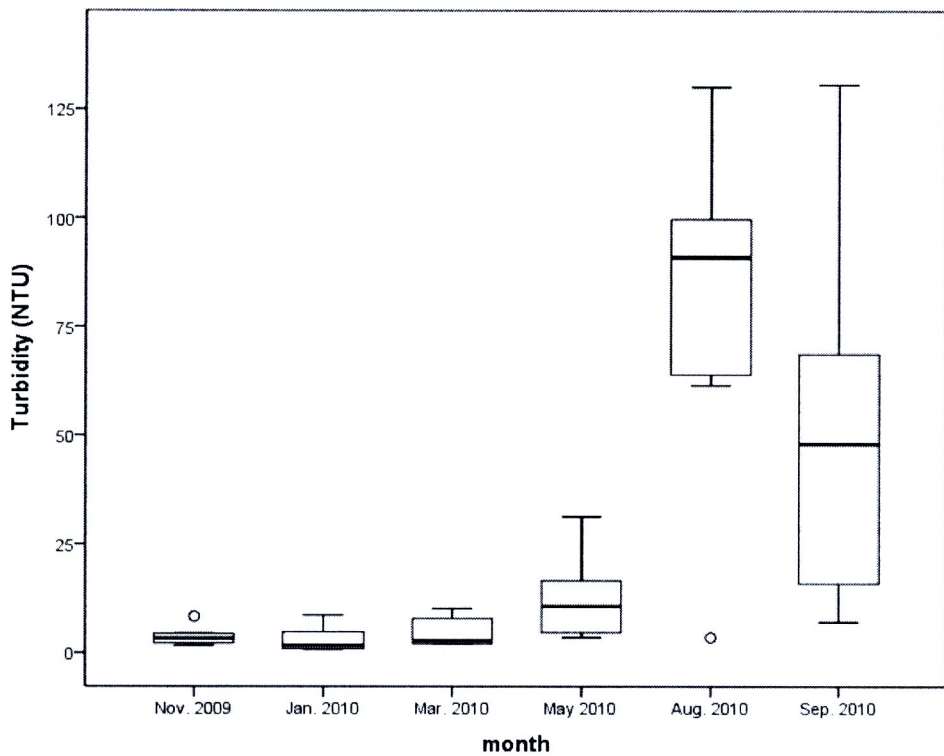
ภาพที่ 22 แผนที่การเปลี่ยนแปลงการส่องผ่านแสงของน้ำ (m) แต่ละสถานี

4.1.7 ความชุ่น

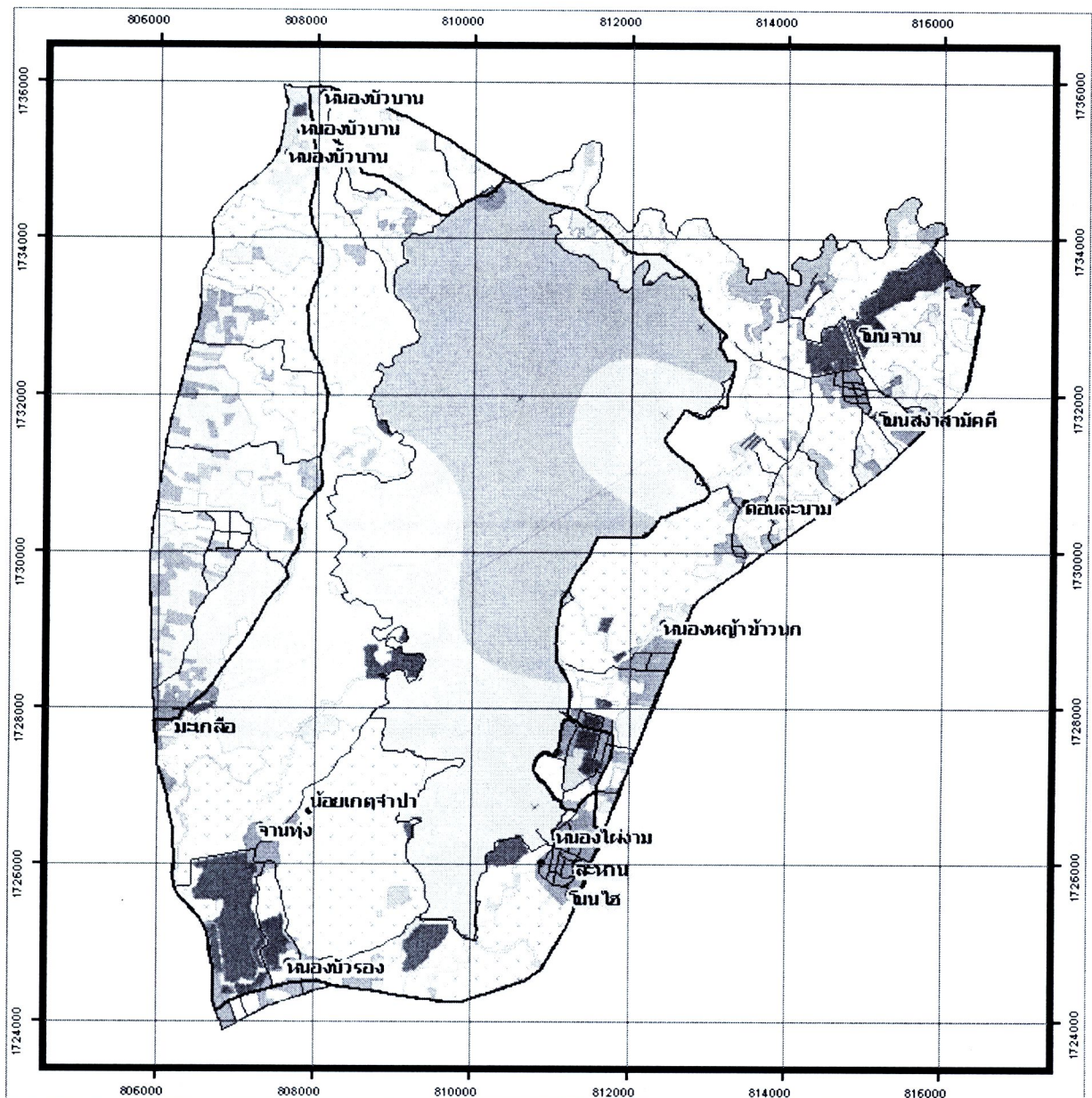
ค่าความชุ่นเฉลี่ยของน้ำมีค่าอยู่ในช่วงระหว่าง 3.04 - 80.34 NTU เดือนที่มีค่าความชุ่นสูงคือเดือนสิงหาคม และกันยายน พ.ศ. 2553 (ภาพที่ 23 24 และ 25) โดยมีสาเหตุหลักๆ มาจาก 2 สาเหตุคือ ภูมิภาค (ฤดูฝน) และโครงการก่อสร้างโครงการแก้มลิง บริเวณที่พบค่าความชุ่นมากที่สุด คือ บริเวณคลองยายแก้ว โดยมีค่าเท่ากับ 130.05 NTU และ 130.56 NTU ของเดือนสิงหาคม และกันยายน พ.ศ. 2553 ตามลำดับ



ภาพที่ 23 การเปลี่ยนแปลงความชุ่นของน้ำ (NTU) แต่ละสถานี



ภาพที่ 24 การเปลี่ยนแปลงความชุ่นของน้ำ (NTU) แต่ละเดือน



ร่างเควอชต์รัล ชั้นห้าดับซึม

0 1,650 3,300 6,600 Meters

ค่าความชัด (NTU)

<25
25 - 50
50.1 - 75
75.1 - 100
>100

เจ้าโครงແຍກ រាជាណເວລອຣສເມອຣໄຄໂຄຣ
ຮູ່ປາກອງເຊີ WGS 1984
ກະຊົນ UTM : Zone 47 N

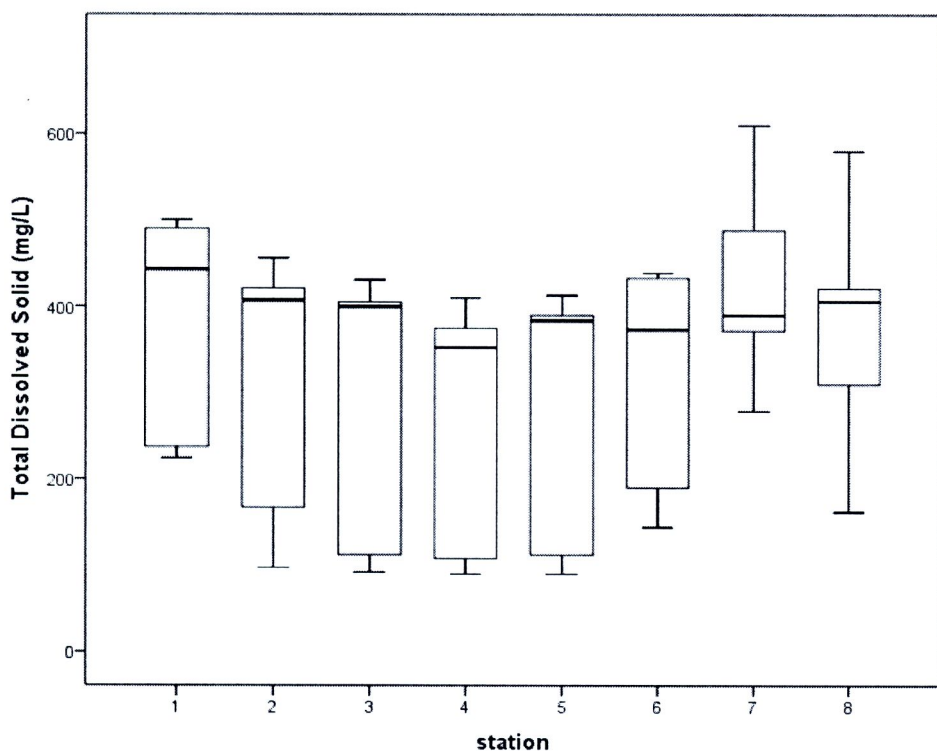


แผนที่แสดงคุณภาพน้ำมึนคง

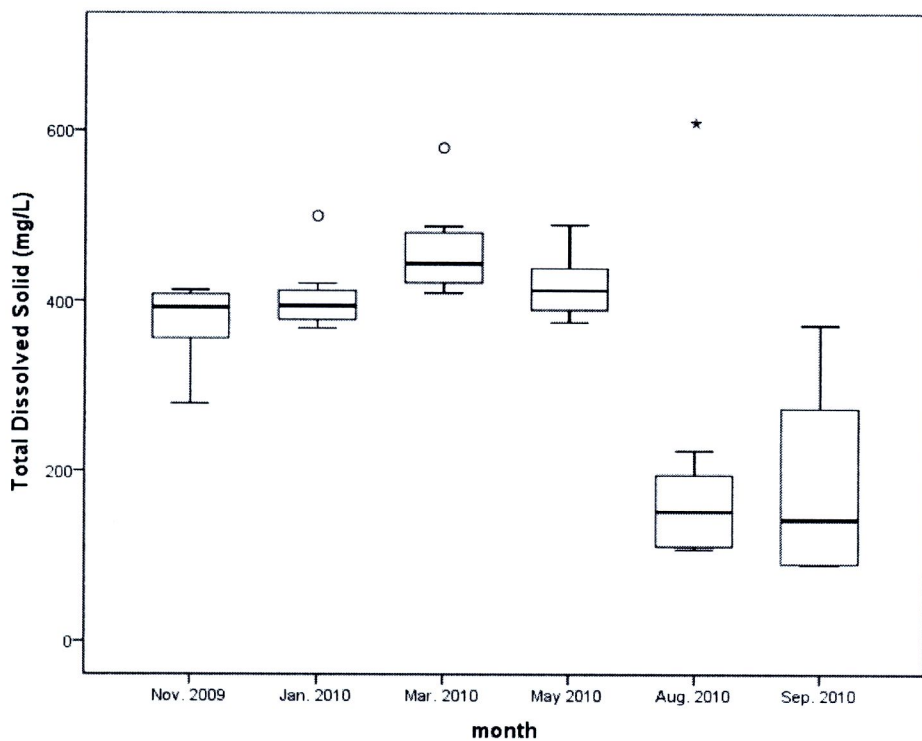
ภาพที่ 25 แผนที่การเปลี่ยนแปลงความชัดของน้ำ (NTU) แต่ละสถานี

4.1.8 ของแข็งละลายน้ำทั้งหมด

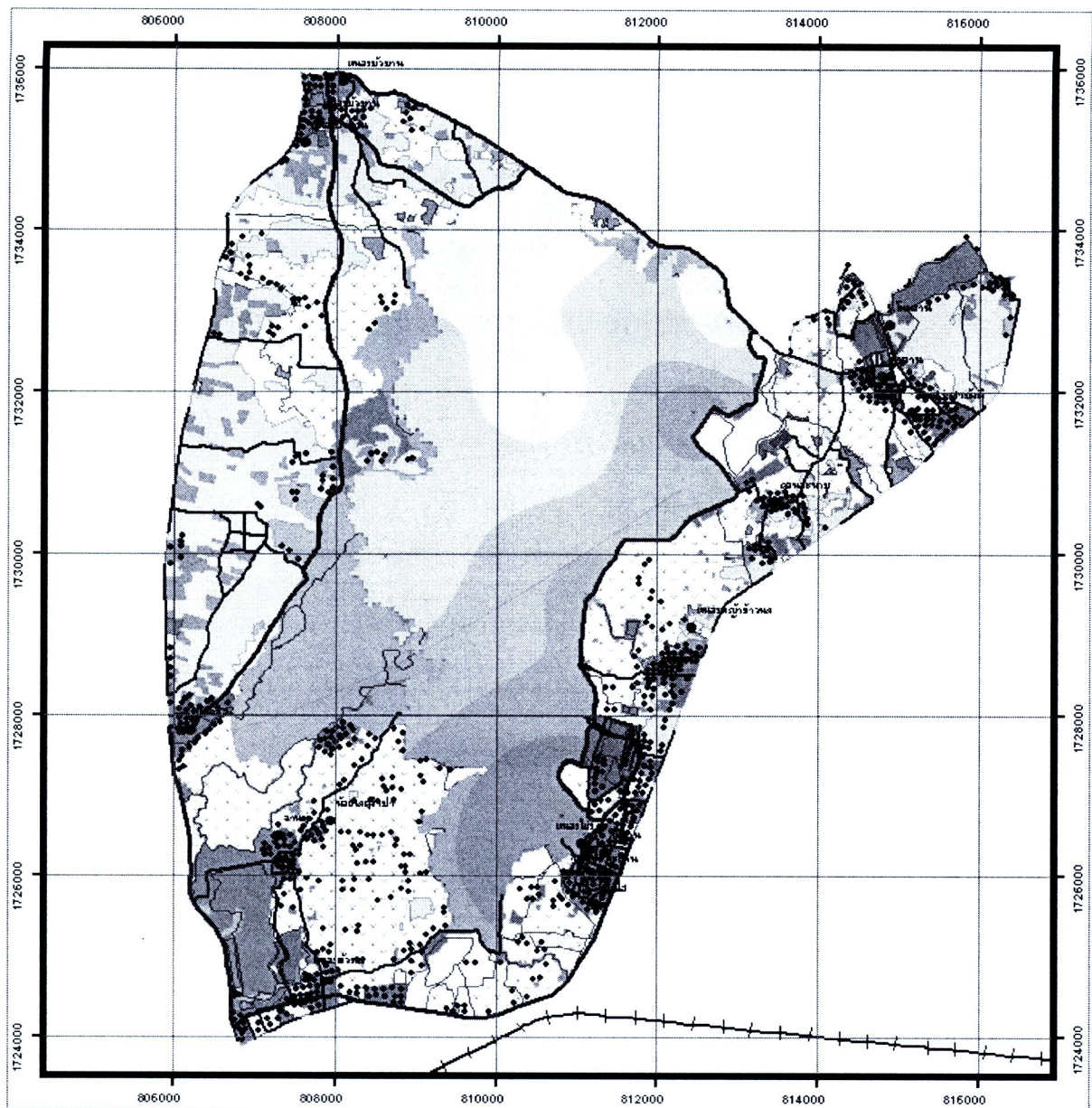
บึงคละหานมีปริมาณของแข็งละลายน้ำทั้งหมดเฉลี่ยอยู่ในช่วง 185 - 461 มิลลิกรัมต่อลิตร (ภาพที่ 26 27 และ 28) เดือนที่มีปริมาณของแข็งละลายน้ำทั้งหมดมากที่สุด คือ เดือนมีนาคม มีค่าเท่ากับ 461 มิลลิกรัมต่อลิตร รองลงมา ได้แก่ เดือนพฤษภาคม (420 มิลลิกรัมต่อลิตร) และมกราคม พ.ศ. 2553 (405 มิลลิกรัมต่อลิตร) ส่วนเดือนที่มีค่าปริมาณของแข็งละลายน้ำทั้งหมดน้อย ได้แก่ เดือนสิงหาคม และกันยายน พ.ศ. 2553 (186 มิลลิกรัมต่อลิตร และ 185 มิลลิกรัมต่อลิตร ตามลำดับ) ขณะที่สถานีที่ตรวจสอบปริมาณของแข็งละลายน้ำทั้งหมดมากที่สุด คือ สถานีที่ 7 หรือ ศาลาเจ้าป่อ - โรงสูบน้ำประปา (428 มิลลิกรัมต่อลิตร) รองลงมาคือ สถานีที่ 1 หรือ ลำคันธู (390 มิลลิกรัมต่อลิตร) สถานีที่ 8 หรือ หนองหลุานก - ดอนลະนาม (376 มิลลิกรัมต่อลิตร) และสถานีที่ 6 หรือ หัวยอก (326 มิลลิกรัมต่อลิตร) ตามลำดับ โดยปริมาณของแข็งละลายน้ำทั้งหมดส่วนใหญ่มาจาก การถลายตัวของอินทรียสาร ได้แก่ เช่นใบไม้หรือชา愧วชพืช และอนินทรียสาร ได้แก่ คลอไรด์ ซึ่งอยู่ในสภาพคลอ络อยด์ที่ไม่ตกลงกัน



ภาพที่ 26 การเปลี่ยนแปลงปริมาณของแข็งละลายน้ำทั้งหมด (mg/L) แต่ละสถานี



ภาพที่ 27 การเปลี่ยนแปลงปริมาณของแข็งละลายน้ำทั้งหมด (mg/L) แต่ละเดือน



แม่น้ำเจ้าพระยา แม่น้ำป่าสัก หมู่บ้านชัยภูมิ

0 1,400 2,800 5,600 Meters

อธิบายค่าสัญลักษณ์

	281.3 - 310.6
	310.7 - 339.9
	340 - 369.2
	369.3 - 398.5
	398.6 - 427.8

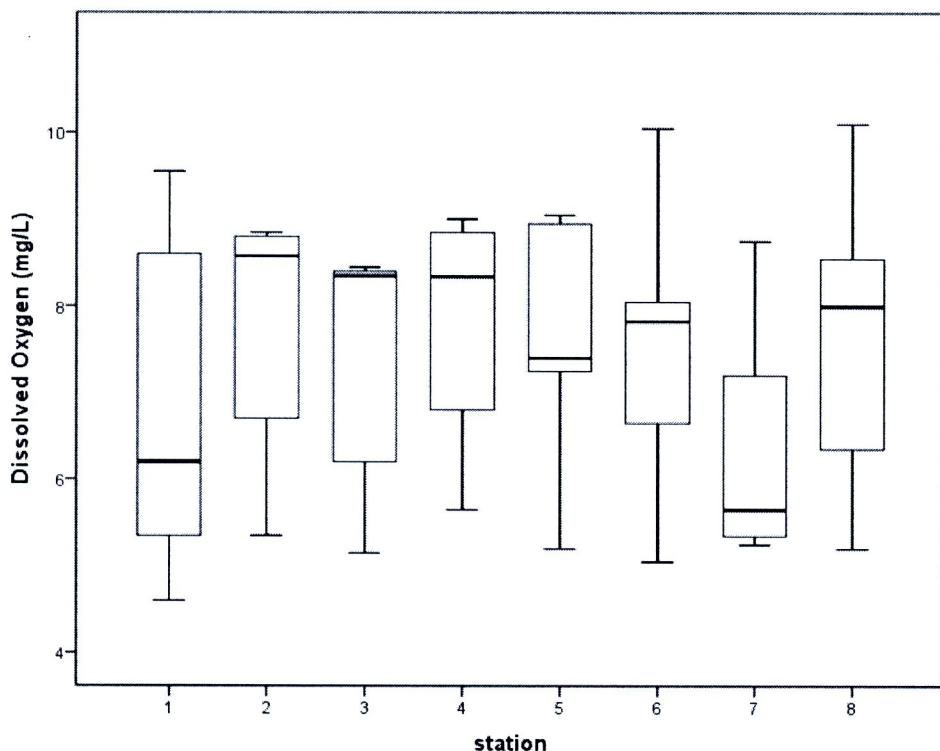


ภาพที่ 28 แผนที่การเปลี่ยนแปลงปริมาณของแข็งละลายทั้งหมด (mg/L) แต่ละสถานี

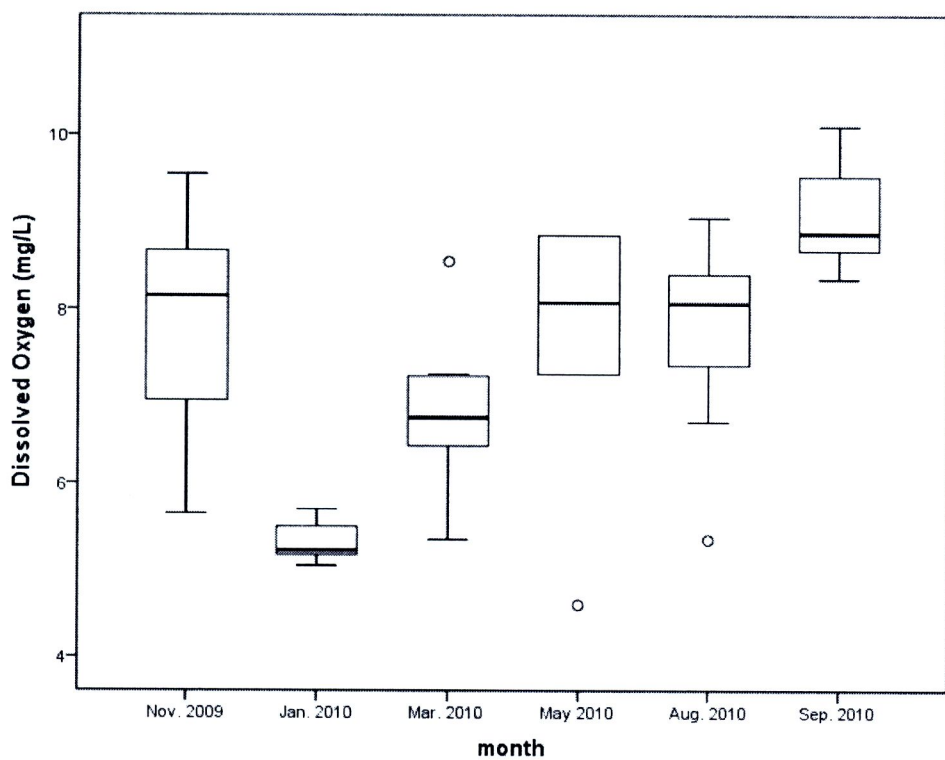
4.1.9 ออกซิเจนละลายน้ำ

จากการวิเคราะห์ปริมาณออกซิเจนละลายน้ำของบึงทะเลน พนว่ามีค่าเฉลี่ยอยู่ในช่วง 5.32

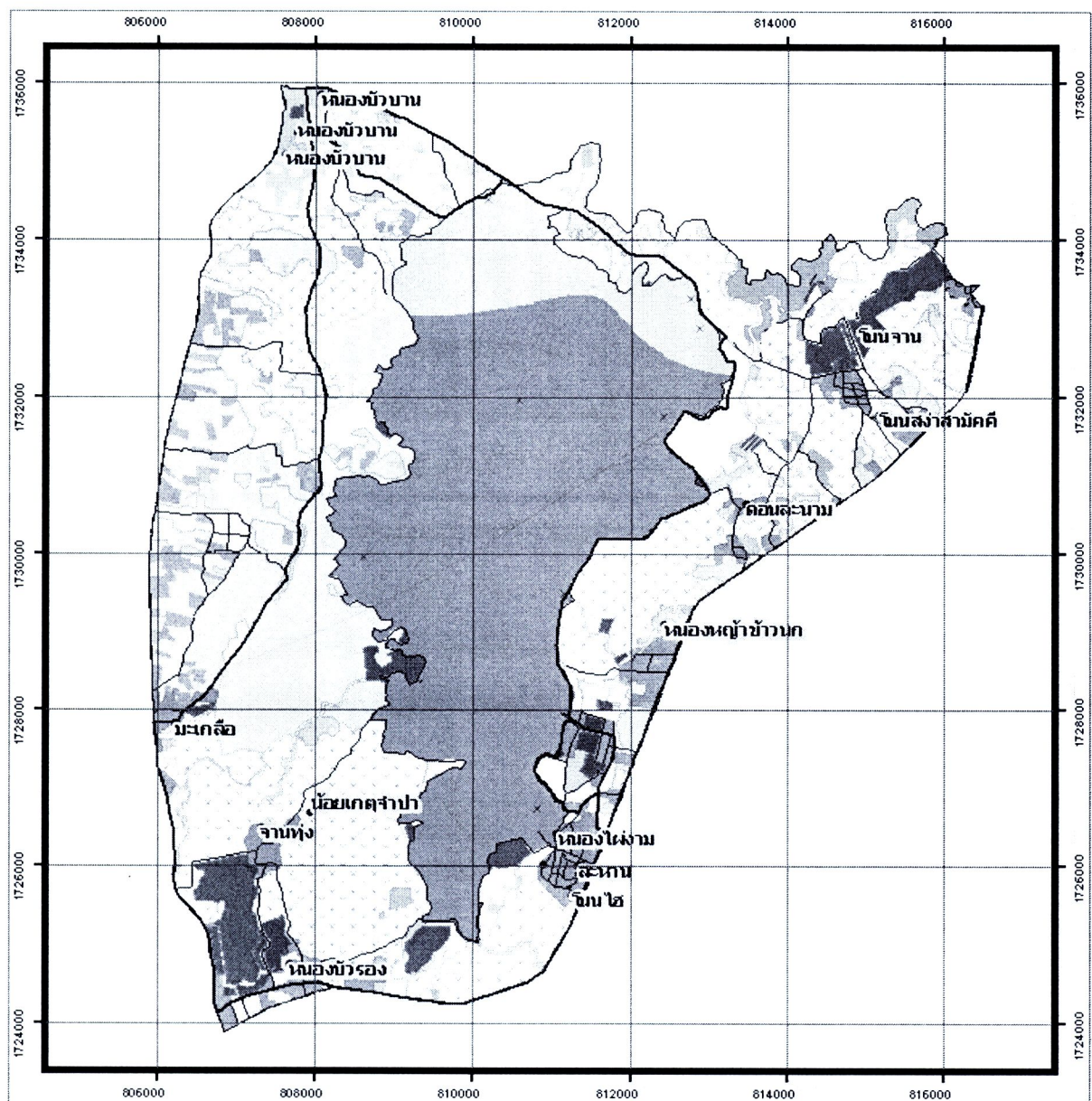
- 9.08 มิลลิกรัมต่อลิตร (ภาพที่ 29 30 และ 31) เดือนที่มีปริมาณออกซิเจนละลายน้ำสุดและสูงสุด คือเดือนมกราคม และกันยายน พ.ศ. 2553 ตามลำดับ อายุ่ง ไร้กีดกั้นจากผลการศึกษาทุกช่วงเวลา และทุกสถานีเก็บตัวอย่างสามารถติดต่อได้ว่า บึงทะเลน มีปริมาณออกซิเจนละลายน้ำค่อนข้างสูง สถานีที่เป็นต้นมาจากสภาพภายในของบึงทะเลนเองที่มีปริมาณพืชค่อนข้างเยอะและหลากหลาย ซึ่งพืชดังกล่าวสามารถช่วยในการเติมอากาศหรือออกซิเจนให้กับแหล่งน้ำ นอกจากนี้ อิฐสาหร่าย หนึ่งเนื้องจากแหล่งปล่อยมลพิษลงสู่บึงมีปริมาณน้อย โดยสังเกตได้จากการใช้ประโยชน์ที่ดิน โดยรอบของบึง ซึ่งส่วนใหญ่เป็นพื้นที่แหล่งน้ำ พื้นที่ชุมชน ทำนาและพืชไร่ (83.77%) ขณะที่ สัดส่วนของแหล่งที่อุดตัน (4.15%) มีเพียงปริมาณเล็กน้อยเท่านั้น (กรมพัฒนาที่ดิน, 2551) จึงทำให้ลักษณะน้ำของบึงทะเลน ในปัจจุบันยังสามารถรักษาสภาพให้อยู่ในเกณฑ์ที่ดีได้ แต่อย่างไร ก็ตามสิ่งที่ควรระวังคือ เรื่องของชาพืชที่ตายทับกุ่มลงในบึง เพราะสามารถเป็นสาเหตุให้น้ำเน่าเสียได้



ภาพที่ 29 การเปลี่ยนแปลงปริมาณออกซิเจนละลายน้ำ (mg/L) แต่ละสถานี

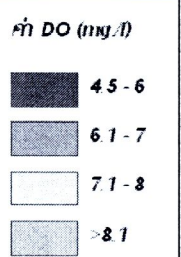


ภาพที่ 30 การเปลี่ยนแปลงปริมาณออกซิเจนละลายน้ำ (mg/L) แต่ละเดือน



มาเกอชัตเตอร์ส จังหวัดเชียงใหม่

0 1,850 3,700 7,400 Meters



เรื่องโดยรวมแผนที่ กรมทรัพยากรสัตว์และธรรมชาติ

ฐานะ WGS 1984

กริด UTM : Zone 47 N

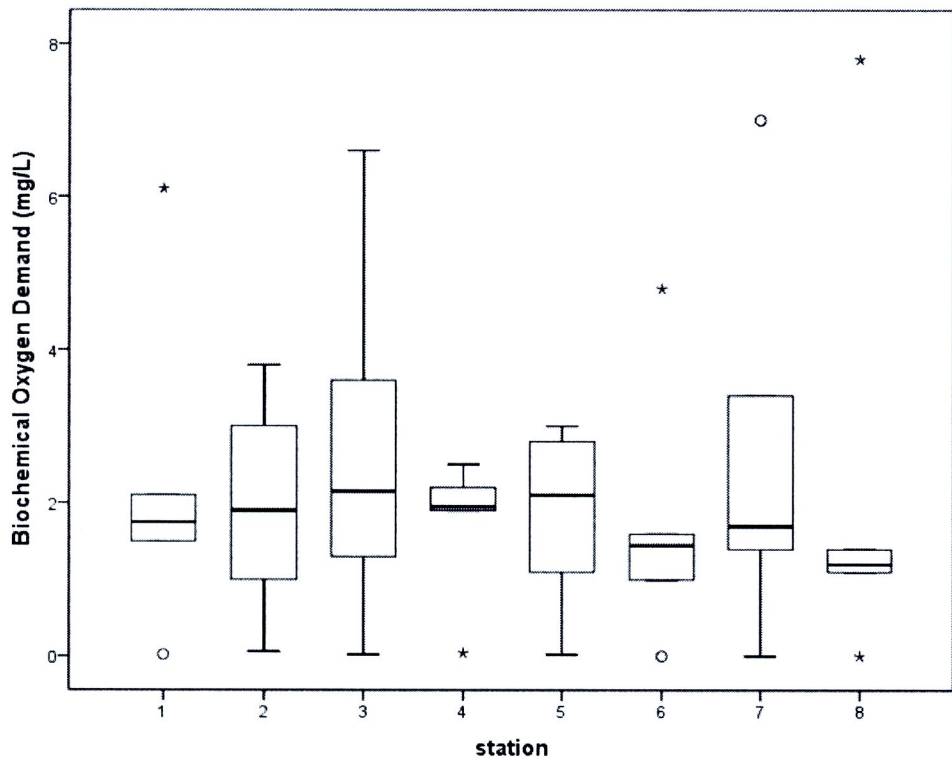


แผนที่แสดงคุณภาพน้ำมีงลະนา

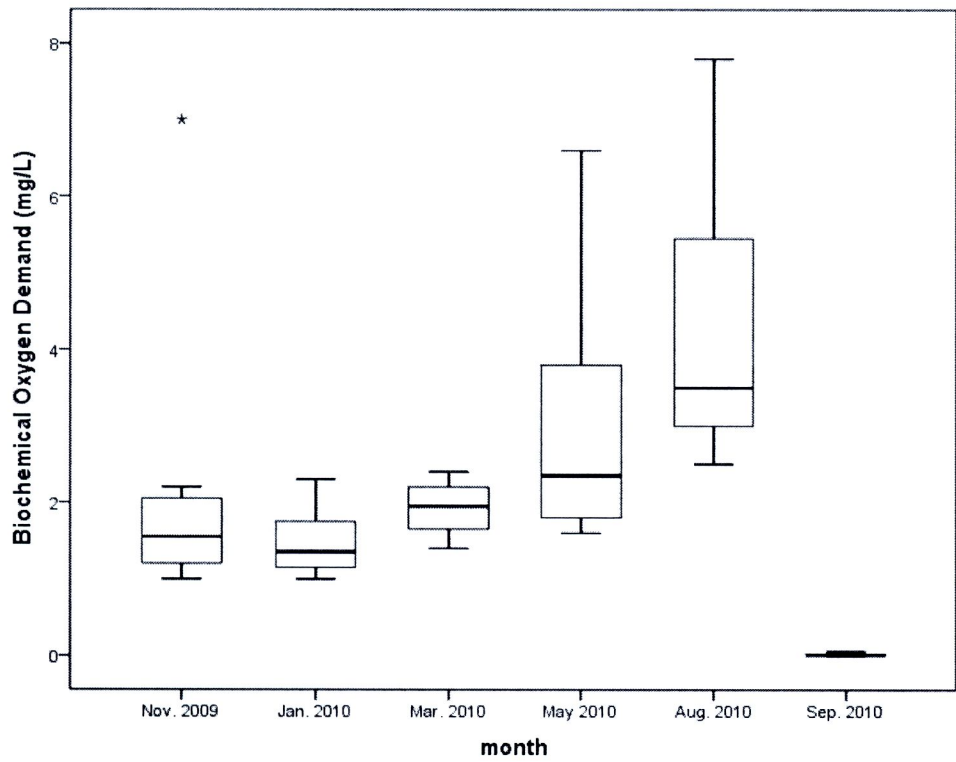
ภาพที่ 31 แผนที่การเปลี่ยนแปลงปริมาณออกซิเจนละลายน้ำ (mg/L) แต่ละสถานี

4.1.10 ความต้องการออกซิเจนทางชีวเคมี หรือ บีโอดี

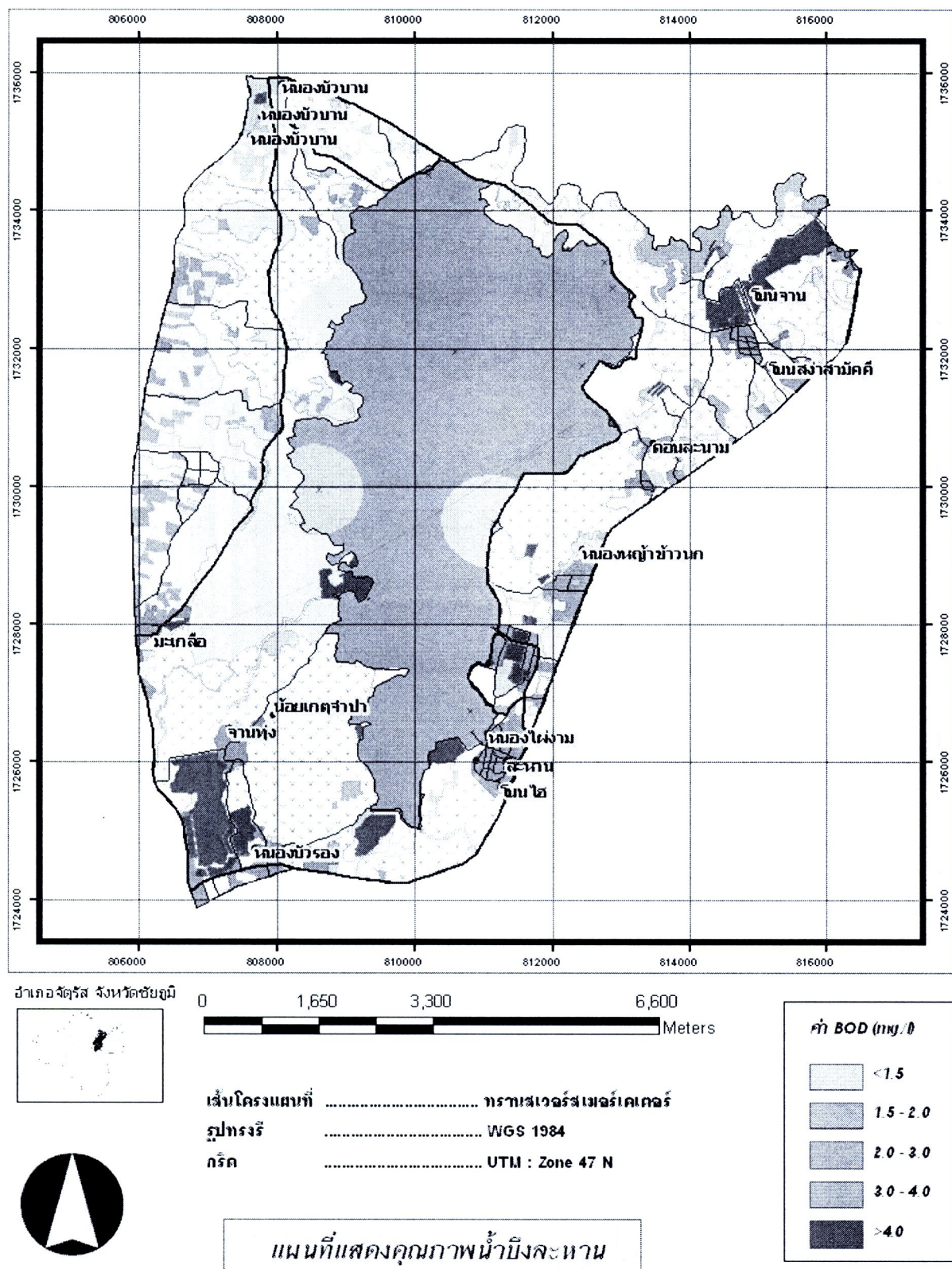
ปริมาณความต้องการออกซิเจนทางชีวเคมี หรือ บีโอดี ของบึงทะเลน มีค่าเฉลี่ยอยู่ในช่วงระหว่าง 0.03 - 4.28 มิลลิกรัมต่อลิตร (ภาพที่ 32 33 และ 34) เดือนกันยายนคือเดือนที่มีค่าเฉลี่ยน้อยที่สุด ส่วนเดือนที่มีค่าเฉลี่ยสูงสุด คือ เดือนสิงหาคม พ.ศ. 2553 สาเหตุที่ทำให้ค่าบีโอดีมีค่าสูงเนื่องจากช่วงเดือนกรกฎาคม และสิงหาคมมีฝนตกชุก โดยมีปริมาณฝนเท่ากับ 224.0 มม. และ 457.0 มม. ตามลำดับ (กรมอุตุนิยมวิทยา, 2553) โดยฝนดังกล่าวมีการชะล้างอินทรียสารต่างๆ จากพื้นที่โดยรอบลงสู่บึง นอกจากนี้ปริมาณน้ำที่เพิ่มสูงขึ้นในช่วงของเวลาดังกล่าวยังได้ท่วมพืชที่อยู่ในบึง จึงทำให้พืชต่างๆตายและเกิดการทับถมกันบริเวณกันบึง จากเหตุการณ์ดังกล่าวนี้เองส่งผลให้ค่าบีโอดีมีค่าเพิ่มสูงขึ้น ส่วนอีกปัจจัยหนึ่งที่ทำให้บีโอดีมีค่าสูงด้วย คือ การทำการประมง เพราะจากข้อมูลการศึกษาภาคสนาม พบร่วมบริเวณที่มีการทำการทำประมงชุมชน จะสามารถตรวจสอบค่าบีโอดีสูงขึ้นตามไปด้วย เช่น บริเวณสถานีที่ 3 หรือคลองแสนแสน (6.60 มิลลิกรัมต่อลิตร) สถานีที่ 7 หรือ ศาลาเจ้าพ่อ-โรงสูบน้ำประปา (7.00 มิลลิกรัมต่อลิตร) และสถานีที่ 8 หรือ หนองหลานก - คง啷นาม (7.80 มิลลิกรัมต่อลิตร) เป็นต้น



ภาพที่ 32 การเปลี่ยนแปลงปริมาณบีโอดี (mg/L) แต่ละสถานี



ภาพที่ 33 การเปลี่ยนแปลงปริมาณบีโอดี (mg/L) แต่ละเดือน



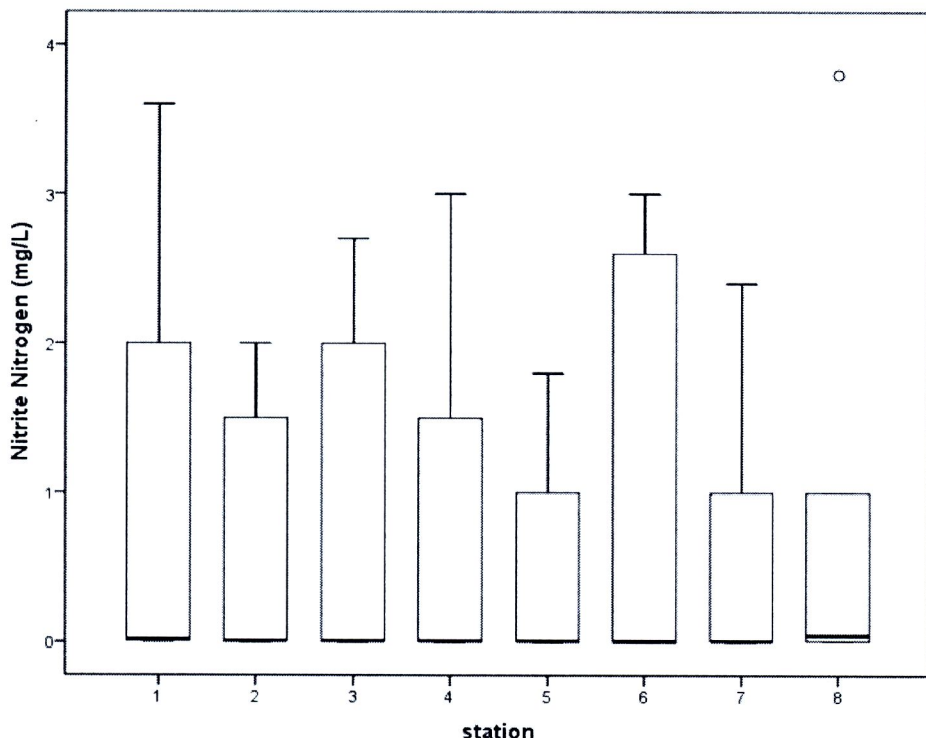
ภาพที่ 34 แผนที่การเปลี่ยนแปลงปริมาณบีโอดี (mg/L) แต่ละสถานี

4.1.11 ในไตรเจนในรูปของแอมโมนีย ไนโตรท์ และไนเตรต

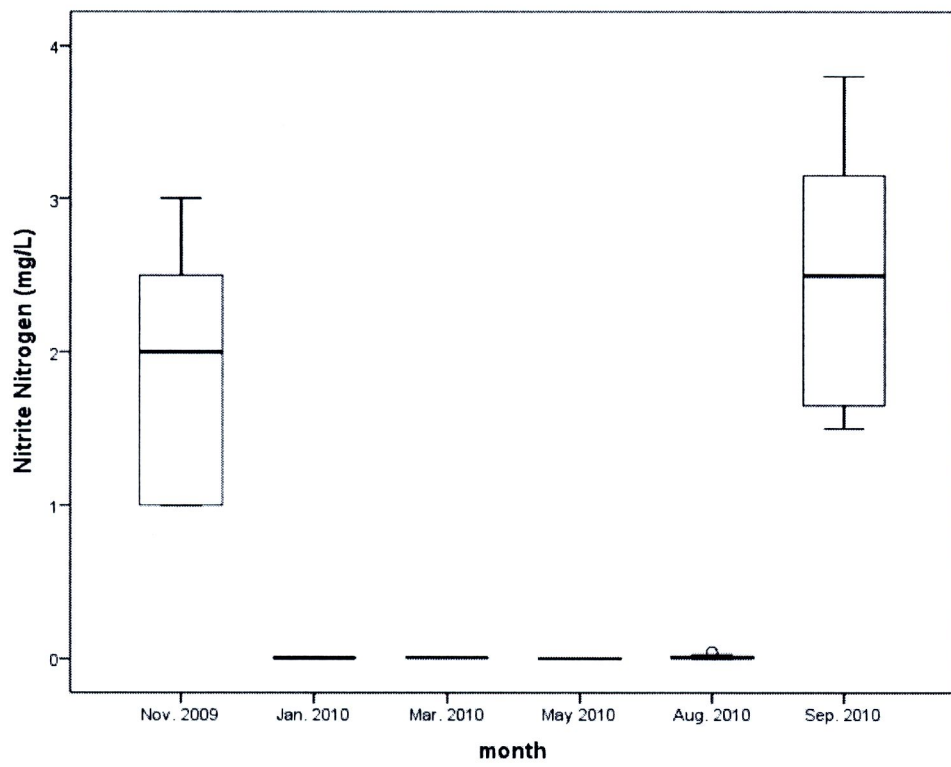
ดังนิคุณภาพน้ำของ ในไตรเจนที่ทำการตรวจวัดในการศึกษาครั้งนี้ประกอบด้วย 3 รูป ด้วยกัน ได้แก่ แอมโมนีย - ในไตรเจน ไนโตรท์ - ในไตรเจน และไนเตรต - ในไตรเจน

ผลการศึกษาหาปริมาณแอมโมนีย - ในไตรเจน พบร่วมกับไม่พบปริมาณของแอมโมนีย-ในไตรเจนในทุกช่วงเวลาและทุกสถานีที่ทำการศึกษา

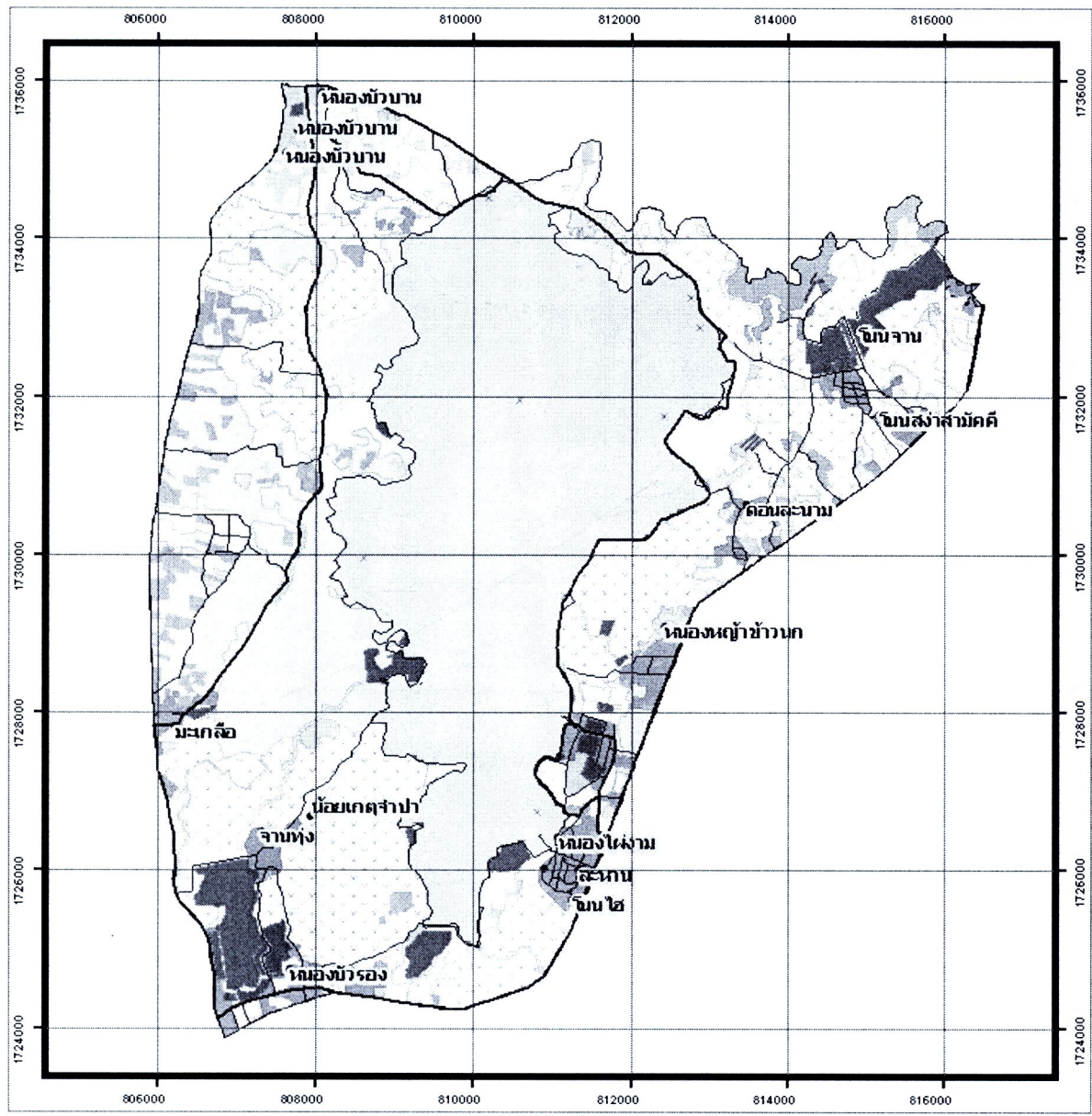
ส่วนในไตรท์ - ในไตรเจน ผลการศึกษาพบว่า มีค่าเฉลี่ยอยู่ในช่วงระหว่าง 0.001 - 2.488 มิลลิกรัมต่อลิตร (ภาพที่ 35 36 และ 37) โดยค่าสูงสุดตรวจพบในเดือนกันยายน พ.ศ.2553 ขณะที่ สถานีที่ 6 หรือ หัวบกอก คือสถานีที่มีค่าในไตรท์ - ในไตรเจนเฉลี่ยสูงที่สุด คือ 1.123 มิลลิกรัมต่อลิตร รองลงมาคือ สถานีที่ 8 หนองหญ้า嫩 - ดอนกระนาม (0.972 มิลลิกรัมต่อลิตร) และสถานีที่ 1 หรือ ลำคันนา (0.941 มิลลิกรัมต่อลิตร) ซึ่งสาเหตุเกิดจากการถูกชะล้างหรือพัดพาเข้าสู่บึงโดยน้ำฝน และกิจกรรมของการทำการประมง



ภาพที่ 35 การเปลี่ยนแปลงในไตรท์ – ในไตรเจน (mg/L) แต่ละสถานี

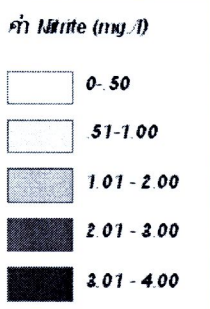


ภาพที่ 36 การเปลี่ยนแปลงในไตรท์ – ไนโตรเจน (mg/L) แต่ละเดือน



มาศอุจุรล จังหวัดเชียงใหม่

0 1,750 3,500 7,000
Meters



เจ้ามีครองแม่ที่ ราษฎร์เชื้อเชิญฯ
ภูมิศาสตร์ WGS 1984
กรั๊ด UTM : Zone 47 N

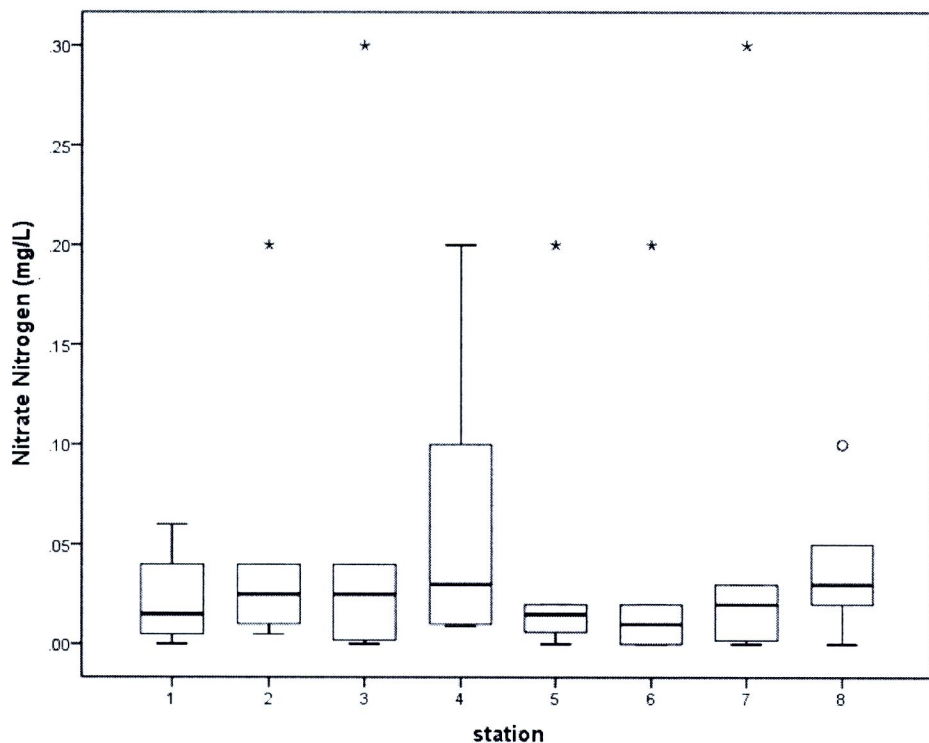


แผนที่แสดงคุณภาพน้ำมึนคละ

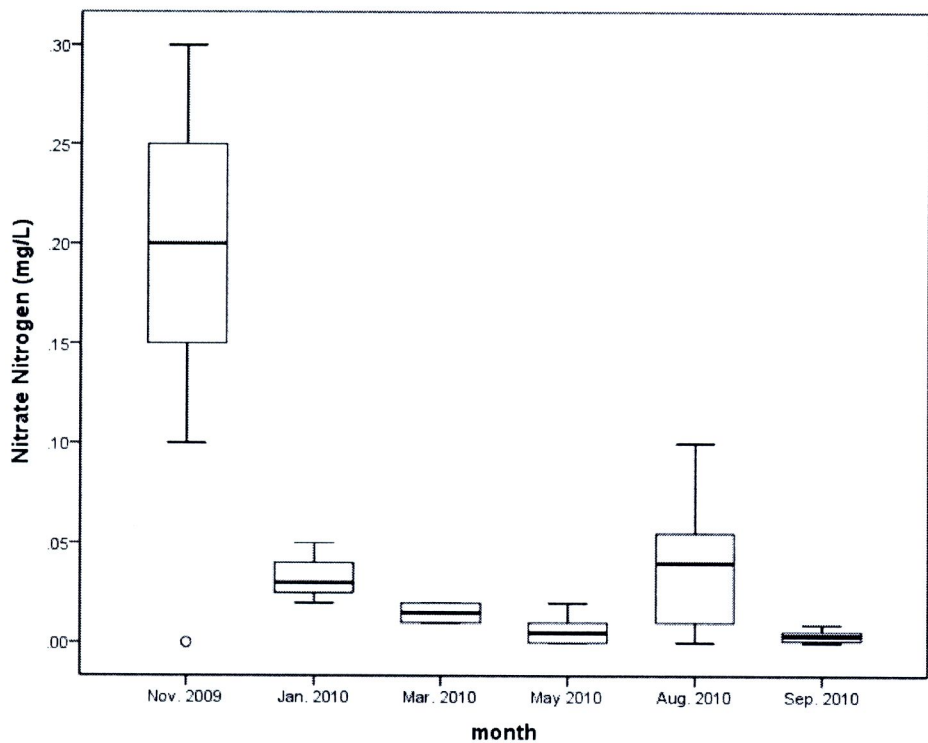
ภาพที่ 37 แผนที่การเปลี่ยนแปลงปริมาณในไตรท์ – ไนโตรเจน (mg/L) แต่ละสถานี

ส่วนในต่อท - ในโตรเจน พบว่า ค่าที่ตรวจวัดได้มีค่าค่อนข้างต่ำ (ภาพที่ 38 39 และ 40) โดยมีค่าเฉลี่ยอยู่ในช่วงระหว่าง 0.005 - 0.190 มิลลิกรัมต่อลิตร โดยพบค่ามากที่สุดในเดือน พฤษภาคม พ.ศ. 2552 ขณะที่สถานีที่พนมากที่สุดคือ สถานีที่ 7 (0.088 มิลลิกรัมต่อลิตร) และ สถานีที่ 6 (0.080 มิลลิกรัมต่อลิตร)

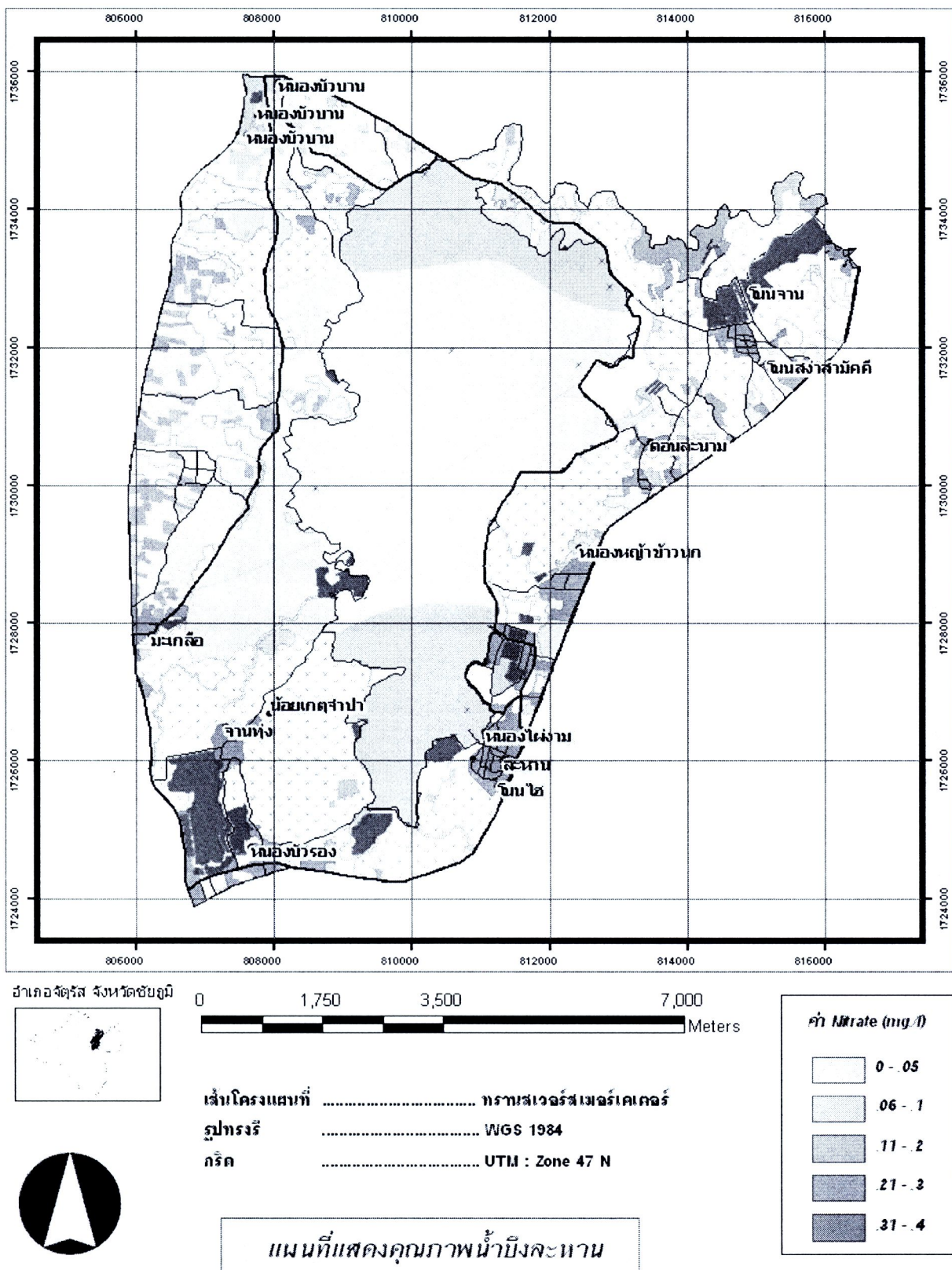
ในโตรเจนทั้ง 3 รูปที่ได้กล่าวถึงนั้น สามารถแสดงช่วงของการปนเปื้อนที่แตกต่างกันได้ กล่าวคือ หากแหล่งน้ำนั้นเพิ่งเริ่มได้รับการปนเปื้อน รูปของในโตรเจนที่มีโอกาสตรวจพบมากที่สุด คือ รูปของแอมโมเนีย รองลงมา คือ ในไตรท์ และในต่อท ตามลำดับ ตรงกับข้ามหากแหล่งน้ำนั้น ๆ ได้รับการปนเปื้อนมาเป็นเวลานาน รูปของในโตรเจนที่สามารถตรวจพบได้มากที่สุด คือ ในต่อท - ในโตรเจน



ภาพที่ 38 การเปลี่ยนแปลงในต่อท - ในโตรเจน (mg/L) แต่ละสถานี



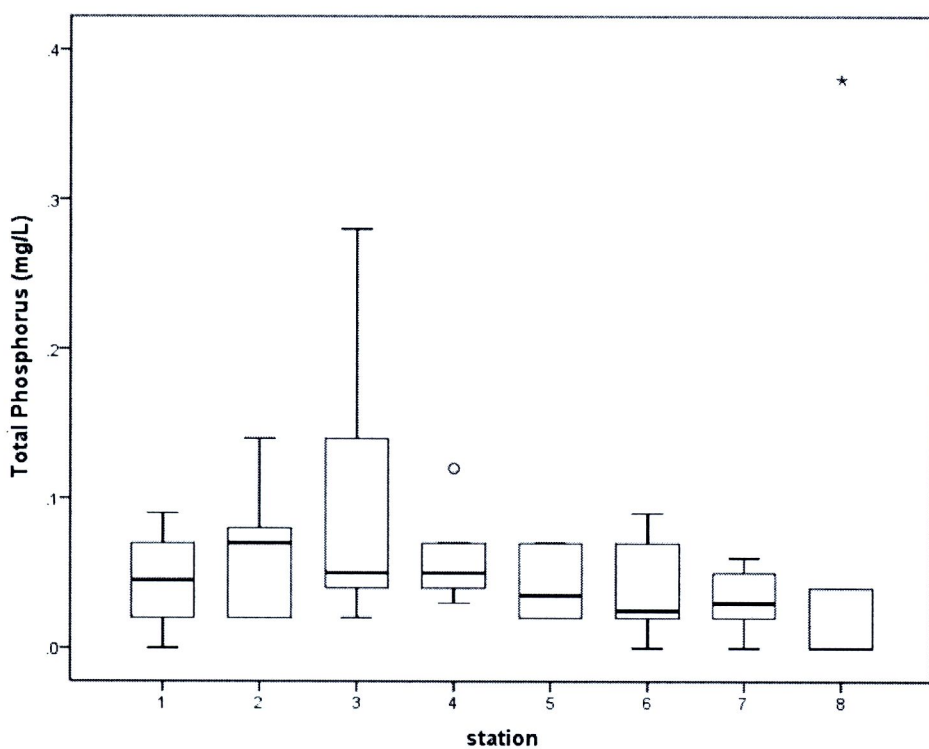
ภาพที่ 39 การเปลี่ยนแปลงในเศรษฐกิจ - ในไตรเจน (mg/L) แต่ละเดือน



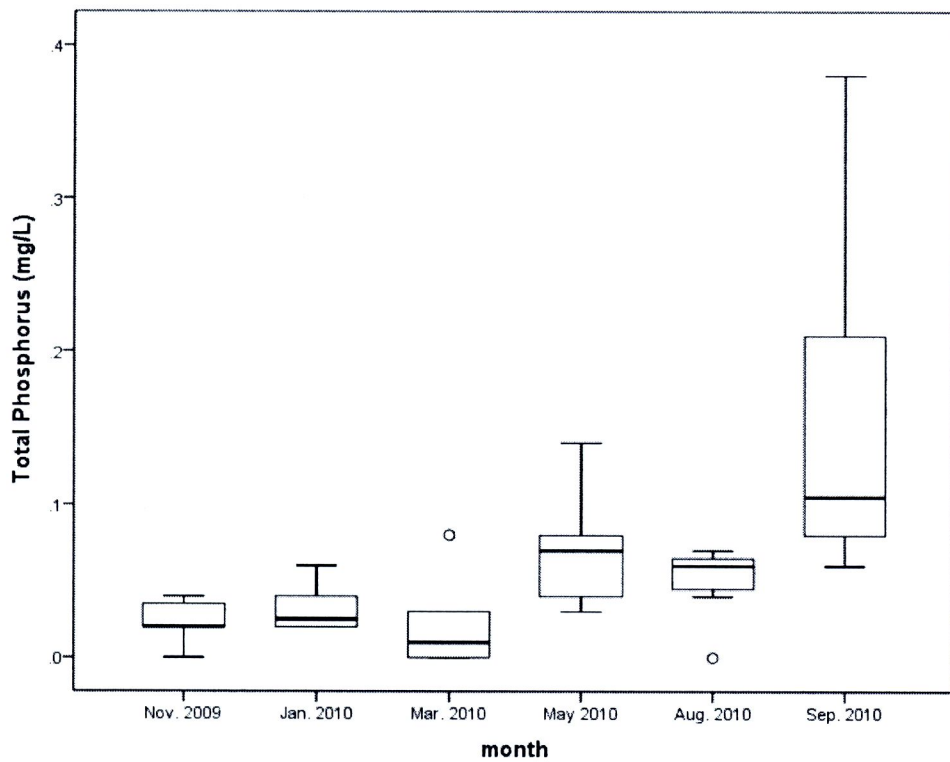
ภาพที่ 40 แผนที่การเปลี่ยนแปลง ในตระหง่าน – ในโทรเจน (mg/L) แต่ละสถานี

4.1.12 ฟอสฟอรัสทั้งหมด

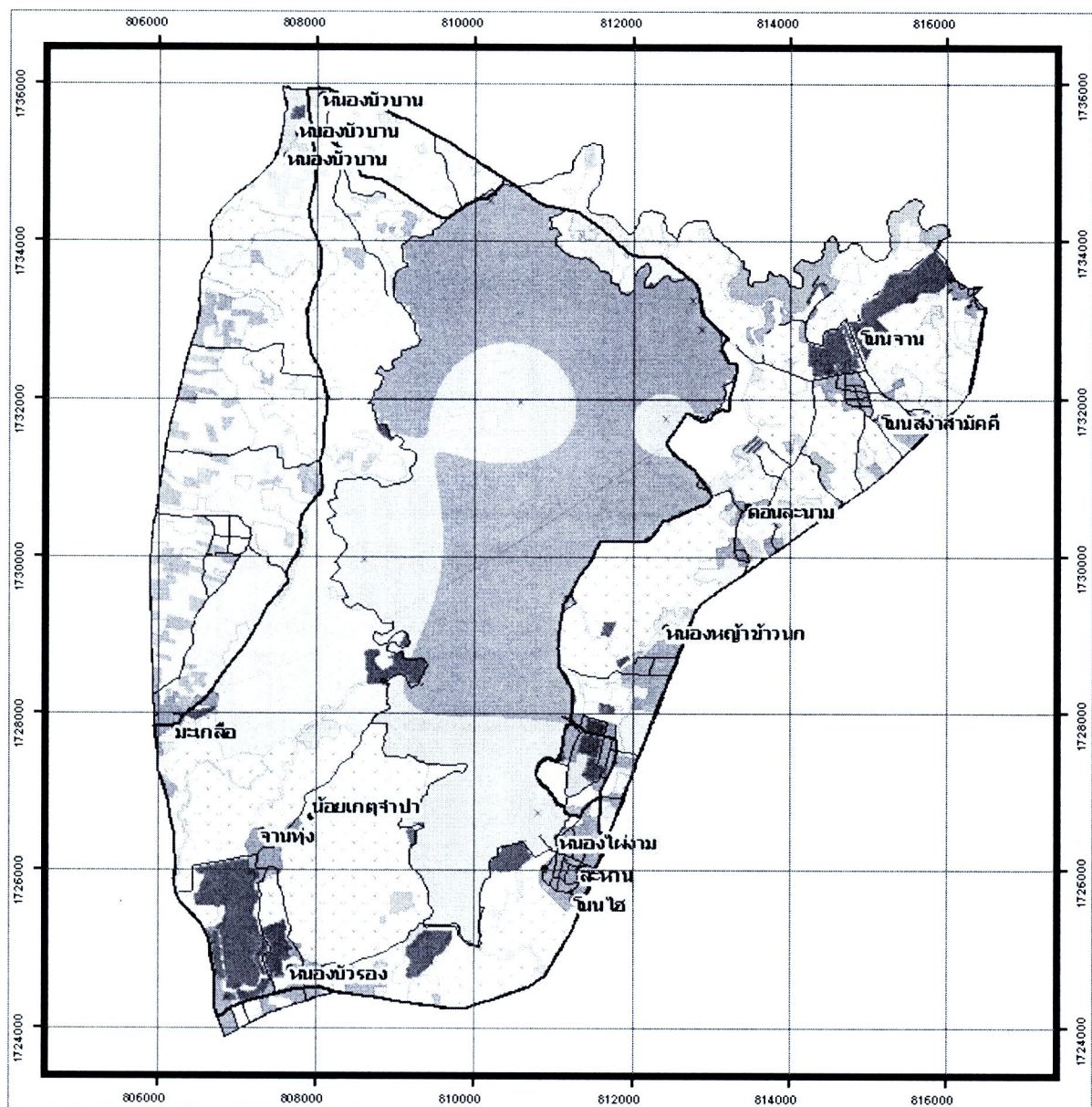
ผลการศึกษาปริมาณฟอสฟอรัสทั้งหมด พบว่า มีค่าเฉลี่ยอยู่ในช่วงระหว่าง 0.02 - 0.15 มิลลิกรัมต่อลิตร (ภาพที่ 41 42 และ 43) โดยค่าสูงสุดตรวจพบในเดือนกันยายน พ.ศ. 2553 ขณะที่เดือนอื่น ๆ มีค่าเฉลี่ยที่ไม่แตกต่างกัน ส่วนสถานีที่พบค่าฟอสฟอรัสทั้งหมดมากที่สุด คือ สถานีที่ 8 หรือ หนองหญ้า่นก-ดอนกระนาม มีค่าเท่ากับ 0.21 มิลลิกรัมต่อลิตร รองลงมา คือ สถานีที่ 3 หรือ คลองแแสนแสบ มีค่าเท่ากับ 0.10 มิลลิกรัมต่อลิตร โดยมีสาเหตุมาจากการถูกชะล้างหรือพัดพาเข้าสู่บึงโดยน้ำฝน และกิจกรรมของการทำการประมงเป็นหลัก



ภาพที่ 41 การเปลี่ยนแปลงปริมาณฟอสฟอรัสทั้งหมด (mg/L) แต่ละสถานี



ภาพที่ 42 การเปลี่ยนแปลงปริมาณฟอสฟอรัสทั้งหมด (mg/L) แต่ละเดือน



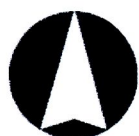
มาเกอจัตุรัส จังหวัดอุบลราชธานี

0 1,750 3,500 7,000 Meters

ค่า TP (mg/L)
< 0.5
0.5 - 1.0
1.1 - 1.5
1.6 - 2.5
> 2.5

เจ้าโครงແມາກ กรາມເຊເວອຣສເວອຣເຄເຕອຣ
ຢູ່ປາກຮີ WGS 1984
ກະດົກ UTM : Zone 47 N

แผนที่แสดงคุณภาพน้ำมิถุนายน



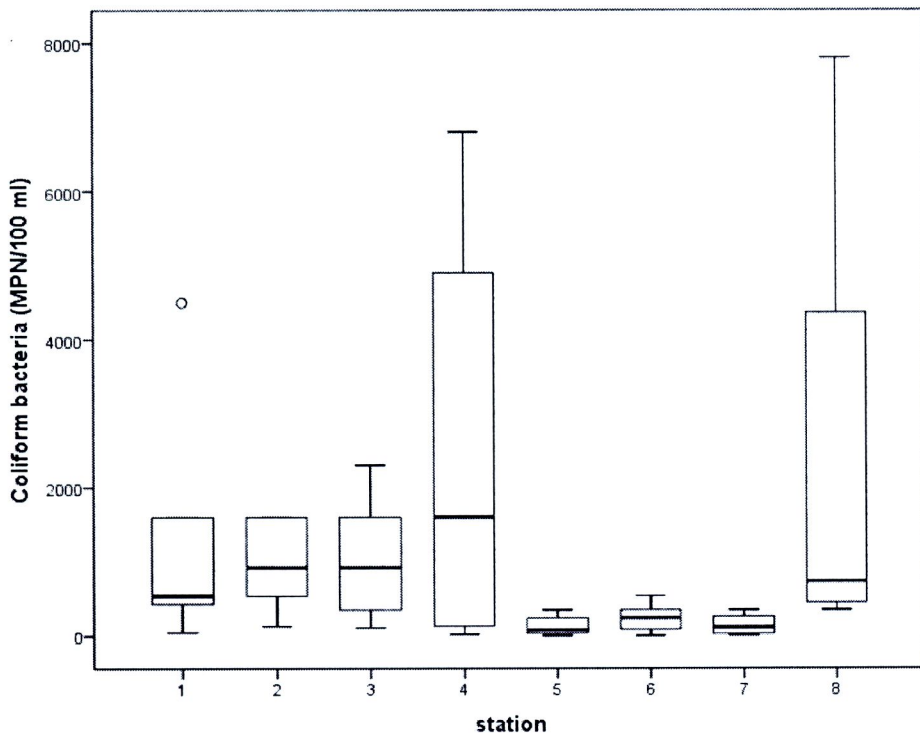
ภาพที่ 43 แผนที่การเปลี่ยนแปลงฟอสฟอรัสทั้งหมด (mg/L) แต่ละสถานี

4.1.13 *E. coli*

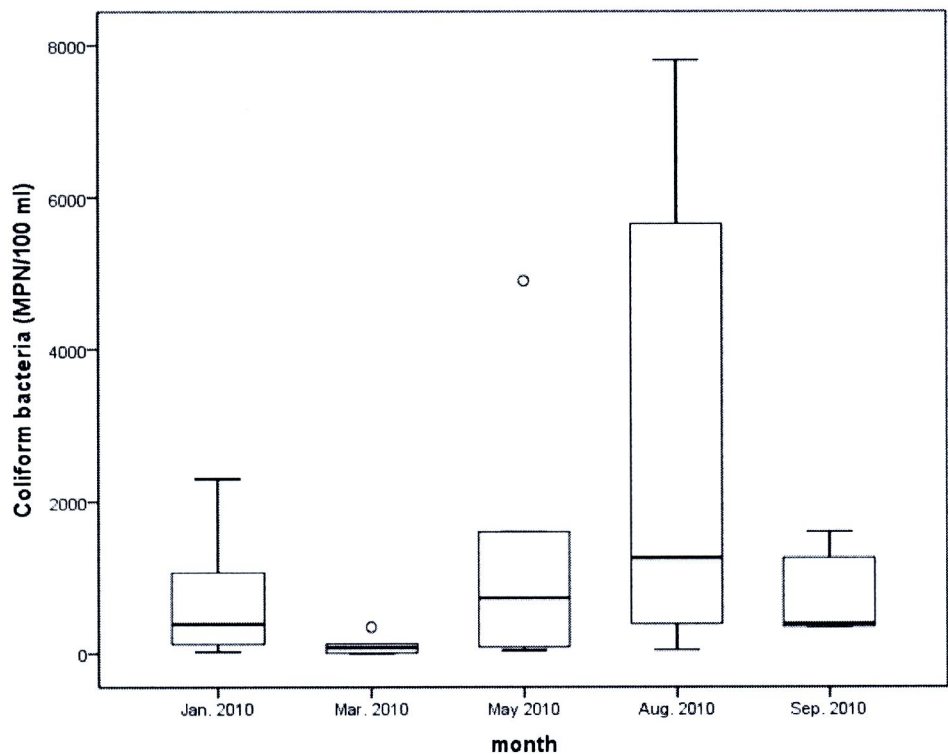
ผลการศึกษาของ *E. coli* พบว่า สามารถตรวจพบทุกสถานี (ตารางภาคผนวก 4) เพียงแต่ตรวจพบในช่วงของระยะเวลาที่แตกต่างกันเท่านั้น ซึ่งจากการสังเกตภาระนามพบว่า บริเวณที่มีการเข้าไปทำการประมง หรือ มีการเข้าไปใช้ประโยชน์อื่น ๆ กับแหล่งน้ำโดยตรงจะสามารถตรวจพบค่า *E. coli* ที่เป็นมากดังนั้น สามารถสรุปได้ว่า การเข้าไปใช้ประโยชน์โดยมนุษย์ ทำให้เกิดการปนเปื้อนของ *E. coli* ลงสู่บึงทะเลน

4.1.14 โคลิฟอร์มแบคทีเรีย

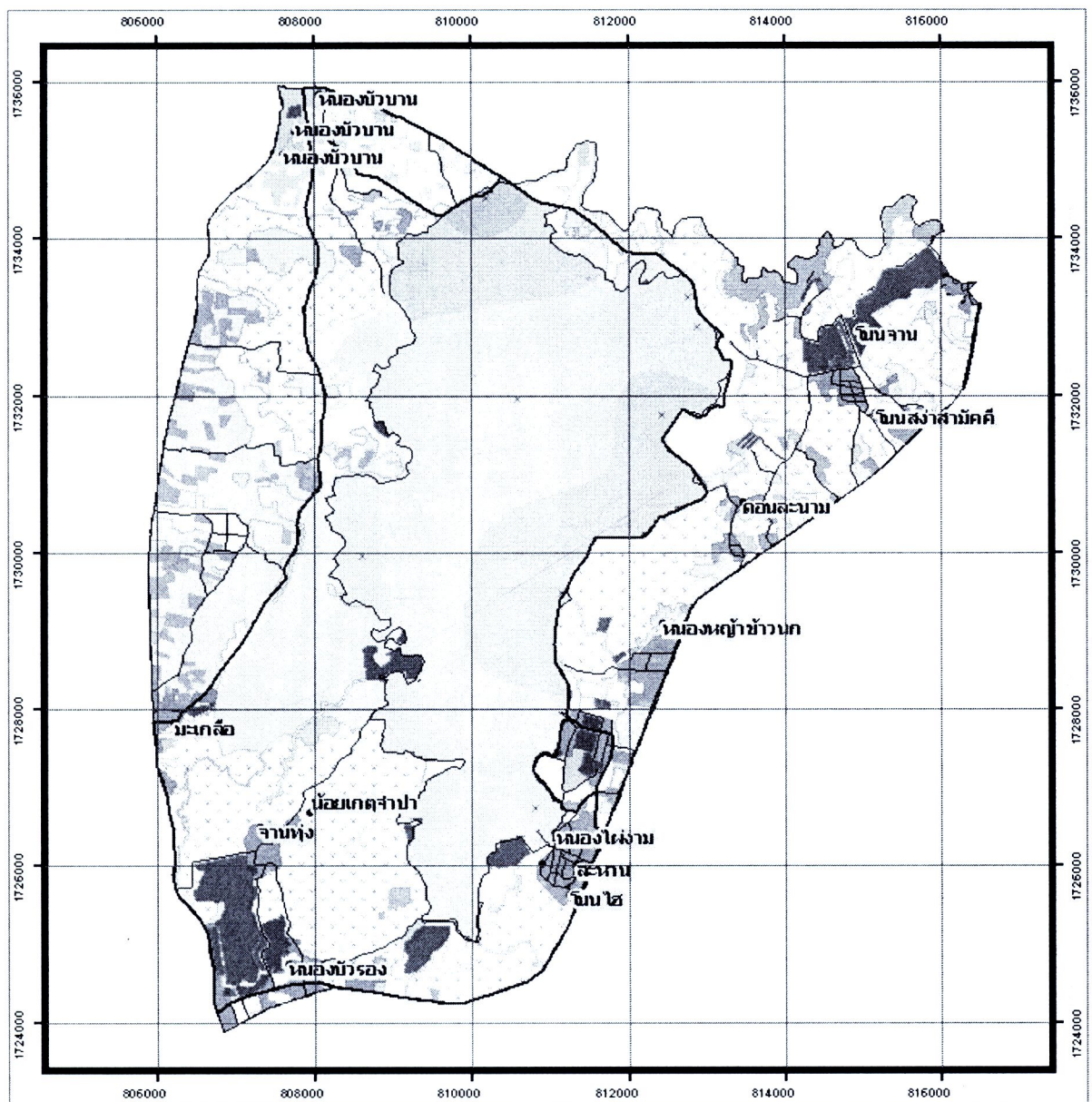
จากการศึกษาพบว่า ค่าโคลิฟอร์มแบคทีเรียมีค่าเฉลี่ยอยู่ในช่วงระหว่าง 98 - 2,806 เอ็มพี เอ็น ต่อ 100 มิลลิลิตรเดือนที่มีค่าเฉลี่ยของโคลิฟอร์มสูงสุด คือ เดือนสิงหาคม นอกจากนี้ หากพิจารณาเป็นรายสถานี ยังพบอีกว่า สถานีที่ 1 (ลำคันธู) สถานีที่ 4 (คลองยายแก้ว) และสถานีที่ 8 (หนองหญ้าโค-ดอนละนา) สามารถตรวจพบค่าโคลิฟอร์มแบคทีเรียค่อนข้างสูง โดยเฉพาะสถานีที่ 8 ที่มีค่าสูงถึง 7,800 เอ็มพีเอ็น ต่อ 100 มิลลิลิตร (ภาพที่ 44 45 และ 46) สำหรับสาเหตุที่ทำให้ตรวจพบค่าดังกล่าวนี้สูง เนื่องมาจากการถูกชะล้างพื้นที่บริเวณรอบ ๆ โดยฝน และการทำการประมง



ภาพที่ 44 การเปลี่ยนแปลงโคลิฟอร์มแบคทีเรียแต่ละสถานี



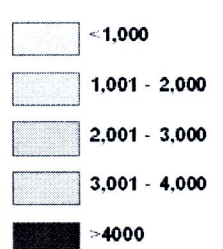
ภาพที่ 45 การเปลี่ยนแปลงโคลิฟอร์มแบคทีเรียแต่ละเดือน



ว่าเกือบจตุรล. จ.นราธิวาส



ค่า Coliform bacteria
(MPN/100 ml)



เงื่อนไขรวมแยกที่ กรานส์เวอร์สเมอร์เค็ต
ภูมิศาสตร์ WGS 1984
กริด UTM : Zone 47 N



แผนที่แสดงคุณภาพน้ำมีงบประมาณ

ภาพที่ 46 แผนที่การเปลี่ยนแปลงโคลิฟอร์มเบคทีเรียแต่ละสถานี

4.2 การจัดจำแนกประเภทคุณภาพน้ำบึงทะเลน จ. ชัยภูมิ ปี พ.ศ. 2552- 2553

การจัดจำแนกประเภทของแหล่งน้ำบึงทะเลจะใช้เกณฑ์มาตรฐานคุณภาพน้ำในแหล่งน้ำผิวดิน ของประกาศคณะกรรมการสิ่งแวดล้อมแห่งชาติ ฉบับที่ 8 (พ.ศ. 2537) ออกตามความในพระราชบัญญัติส่งเสริมและรักษาคุณภาพสิ่งแวดล้อมแห่งชาติ พ.ศ. 2535 (ตารางที่ 4)

ตารางที่ 4 การจำแนกประเภทคุณภาพน้ำของบึงทะเล

ตัวชี้วัดคุณภาพน้ำ	ค่าที่ได้จากการวิเคราะห์		คุณภาพน้ำ
	พิสัย	ค่าเฉลี่ย	
อุณหภูมิ ($^{\circ}\text{C}$)	24.3 - 34.0	27.6	ประเภท 2
ความเป็นกรด - เบส	7.14 - 9.58	7.86	ประเภท 2
ออกซิเจนละลายน (mg/L)	4.60 - 10.10	7.40	ประเภท 2
บีโอดี (mg/L)	ไม่พบ - 7.80	2.12	ประเภท 4
ไนเตรต - ไนโตรเจน (mg/L)	ไม่พบ - 0.3	0.049	ประเภท 2
แอมโมเนีย - ไนโตรเจน (mg/L)	ไม่พบ	ไม่พบ	ประเภท 2
โคลิฟอร์มแบคทีเรีย (MPN/ 100 mL)	2 - 7,800	1,125	ประเภท 2

จากการศึกษา เมื่อเปรียบเทียบกับเกณฑ์มาตรฐานคุณภาพน้ำในแหล่งน้ำผิวดิน ของกรมควบคุมมลพิษพบว่า คุณภาพน้ำส่วนใหญ่ของบึงทะเลถูกจัดให้อยู่ในแหล่งน้ำประเภทที่ 2 (คุณภาพดี) ซึ่งเป็นแหล่งน้ำที่สามารถเป็นประโยชน์เพื่อการอุปโภคและบริโภคโดยต้องผ่านการฆ่าเชื้อ โรคตามปกติและผ่านกระบวนการปรับปรุงคุณภาพน้ำทั่วไปก่อนการอนุรักษ์สัตว์น้ำ การประเมินและการว่ายน้ำและกีฬาทางน้ำดังนี้คุณภาพน้ำที่ทำให้คุณภาพน้ำของบึงทะเลจัดอยู่ในประเภทดังกล่าว ได้แก่ อุณหภูมิ ความเป็นกรด - เบส ออกซิเจนละลายน ไนเตรต - ไนโตรเจน แอมโมเนีย - ไนโตรเจน และโคลิฟอร์มแบคทีเรีย

แต่อย่างไรก็ตาม บังมีดังนี้คุณภาพน้ำอีกหนึ่งตัวที่มีความอ่อนไหว สมควรได้รับการเฝ้าระวังและติดตามอย่างต่อเนื่องนั่นคือ ปริมาณความต้องการออกซิเจนทางชีวเคมี (BOD) ซึ่งดังนี้

คุณภาพน้ำดังกล่าวที่ทำให้เหล่าน้ำถูกจัดอยู่ในประเภทที่ 4 (เหมาะสมในการใช้ประโยชน์เพื่อการทำอุตสาหกรรม) โดยสามารถลักษณะที่ทำให้ปริมาณของดัชนีคุณภาพน้ำดังกล่าวมีค่าสูงเนื่องจากการพยายามของพืชน้ำ โดยเฉพาะอย่างยิ่งสาหร่ายและผักตบชวา การทำการประมง และชุมชนโดยรอบ

นอกเหนือจากมาตรการการเฝ้าระวังดัชนีคุณภาพน้ำที่ได้กล่าวมาข้างต้นแล้ว ทางผู้วิจัยยังเล็งเห็นว่า การกำหนดโภชนาการใช้ประโยชน์ในพื้นที่ของบึงทะเลนกน่าจะเป็นทางเลือกที่ดีอีกทางหนึ่งที่จะช่วยในการจัดการเรื่องคุณภาพน้ำและการใช้ประโยชน์ที่เหมาะสมในบึงทะเลนในอนาคตได้

4.3 การวิเคราะห์ข้อมูลทางสถิติ

ผลการวิเคราะห์ทางสถิติโดยใช้โปรแกรม SPSS 11.5 วิธี One - way ANOVA กับดัชนีคุณภาพพบว่า ไม่มีความแตกต่างกันระหว่างดัชนีคุณภาพน้ำและสถานีเก็บตัวอย่างน้ำนั้นหมายความว่า ค่าอุณหภูมิ ความเป็นกรด – เบส การนำไฟฟ้า ความเค็ม ความลึก การส่องผ่านของแสง ความชุ่ม ของแข็งละลายทั้งหมด ออกซิเจนละลาย ความต้องการออกซิเจนทางชีวเคมี ในไตรท์ - ไนโตรเจน ในเตรท - ในไตรเจน ฟอสฟอรัสทั้งหมด และโคลิฟอร์มเบคทีเรีย ที่ตรวจวัดในทุกสถานีเก็บตัวอย่างน้ำของบึงทะเลนกมีค่าไม่แตกต่างกัน ขณะที่ผลของการทดสอบทางสถิติระหว่างค่าดัชนีคุณภาพน้ำและเดือนที่ทำการเก็บตัวอย่าง พบว่า มีความแตกต่างกันของค่าดัชนีคุณภาพน้ำตามรายเดือน ($p<0.01$) หรือกล่าวได้อีกนัยหนึ่งว่า ค่าดัชนีคุณภาพน้ำที่ตรวจวัดได้แต่ละเดือนมีค่าแตกต่างกัน (ตารางที่ 5)

ตารางที่ 5 เปรียบเทียบความแตกต่างระหว่างดัชนีคุณภาพน้ำกับสถานีเก็บตัวอย่างทั้งหมด และดัชนีคุณภาพน้ำกับเดือนที่ทำการศึกษา

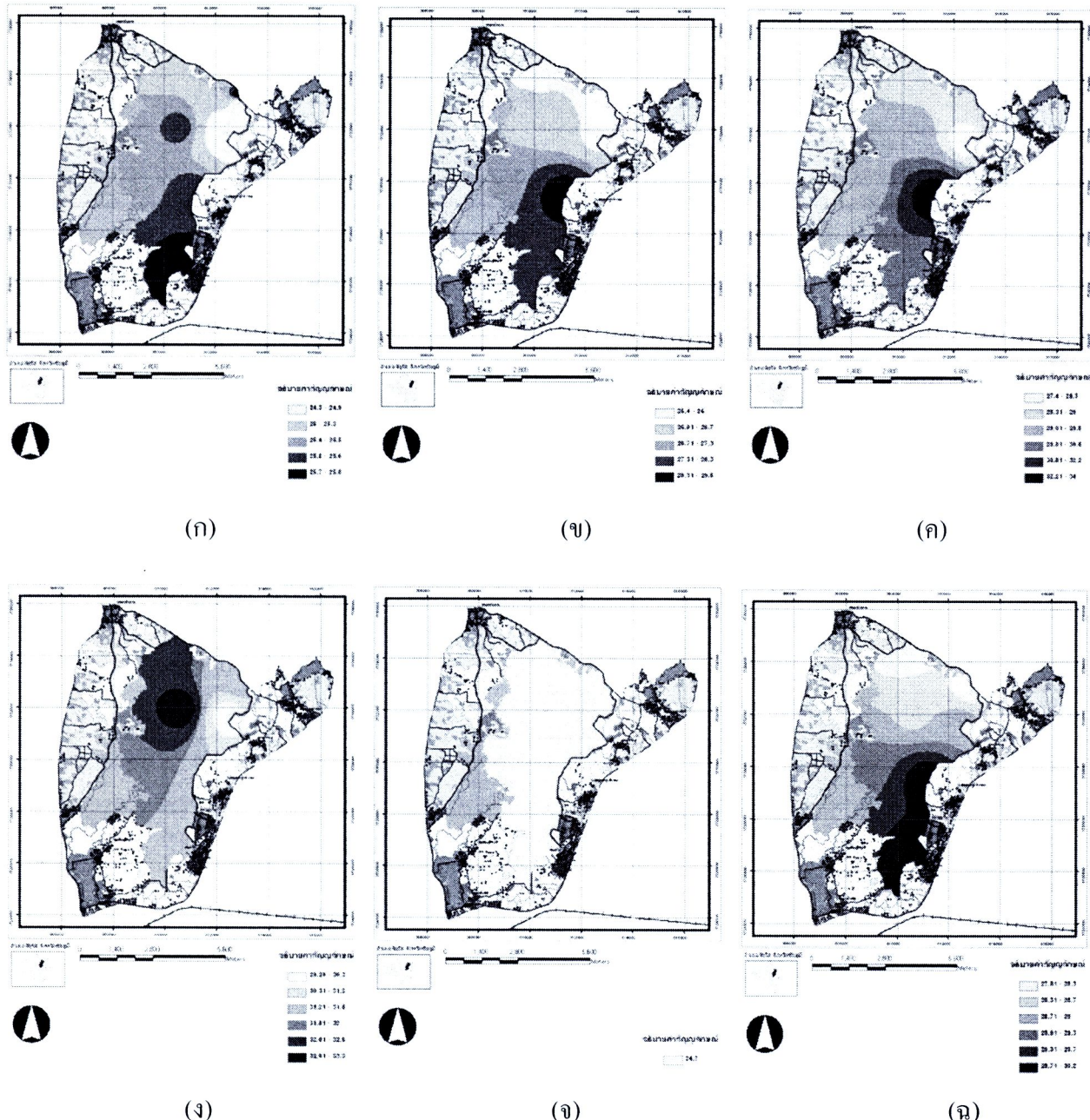
ดัชนีคุณภาพน้ำ	ค่าเฉลี่ย	ความแตกต่าง	ความแตกต่าง
		P-value	P-value
อุณหภูมิ (°C)	27.6 ± 2.6	0.967	<0.001
ความเป็นกรด - base	7.86 ± 0.6	0.066	0.0015
การนำไฟฟ้า ($\mu\text{S}/\text{cm}$)	629 ± 271	0.659	<0.001
ความเค็ม (ppt)	0.3 ± 0.12	0.663	<0.001
ความลึก (m)	2.51 ± 0.95	0.421	<0.001
การส่องผ่านแสง (m)	0.85 ± 0.58	0.194	<0.001
ความขุ่น (NTU)	26.43 ± 37.6	0.549	<0.001
ของแข็งละลายน้ำ (mg/L)	338 ± 139	0.668	<0.001
ออกซิเจนละลายน้ำ (mg/L)	7.40 ± 1.53	0.785	<0.001
ความต้องการออกซิเจนทางชีวเคมี (mg/L)	2.12 ± 1.84	0.979	<0.001
ไนโตรทีน - ไนโตรเจน (mg/L)	0.764 ± 1.16	0.996	<0.001
ไนเตรท - ไนโตรเจน (mg/L)	0.049 ± 0.07	0.979	<0.001
ฟอสฟอรัสทั้งหมด (mg/L)	0.06 ± 0.06	0.754	<0.001
โคลิฟอร์มแบคทีเรีย ($\text{MPN}/100 \text{ mL}$)	1,125 ± 1845	0.221	0.03

ผลการศึกษาความแตกต่างระหว่างสถานีกับค่าดัชนีคุณภาพน้ำพบว่า ค่าดัชนีคุณภาพน้ำในแต่ละสถานีที่ตรวจวัดมีค่าไม่แตกต่างกัน ขณะที่ผลการศึกษาความแตกต่างระหว่างเดือนที่ทำการศึกษากับค่าดัชนีคุณภาพน้ำพบว่า ค่าดัชนีคุณภาพน้ำในแต่ละเดือนที่ตราชพบมีค่าแตกต่างกัน ($p < 0.01$) ยกเว้นค่าดัชนีของโคลิฟอร์มแบคทีเรีย ที่มีค่าความแตกต่างของรายเดือนที่ระดับนัยสำคัญ 0.05

4.4 การจัดทำสารสนเทศทางภูมิศาสตร์

จากข้อมูลคุณภาพน้ำของบึงทะเลน สามารถนำมาจัดทำระบบสารสนเทศของแต่ละดัชนี
คุณภาพน้ำในแต่ละเดือนได้ดังนี้

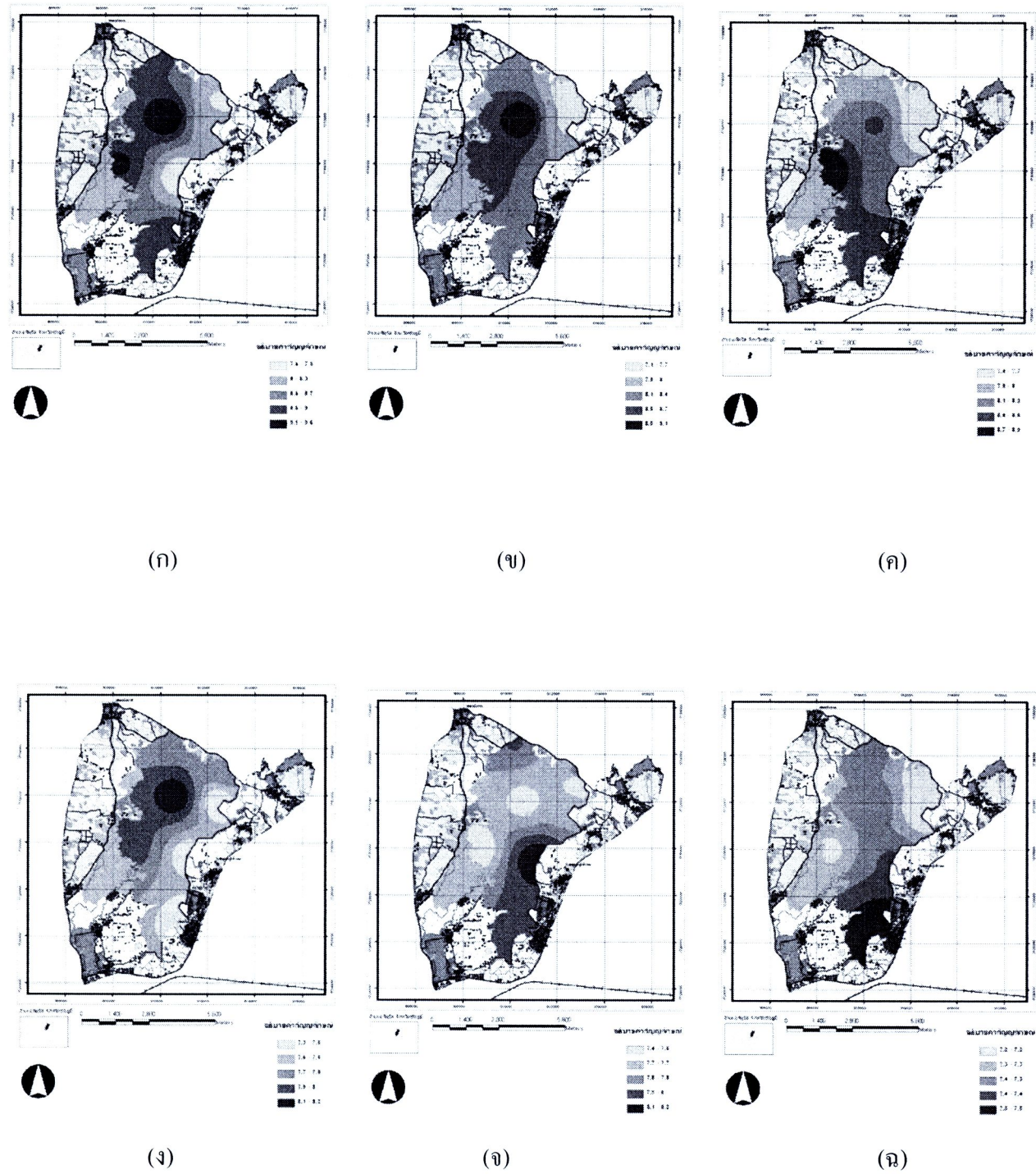
4.4.1 อุณหภูมิของน้ำ



ภาพที่ 47 แผนที่อุณหภูมิของน้ำในแต่ละเดือน เดือนพฤษภาคม พ.ศ. 2552 (ก) มกราคม (ง)

มีนาคม (ค) พฤษภาคม (ง) สิงหาคม (จ) และกันยายน พ.ศ. 2553 (ฉบับ)

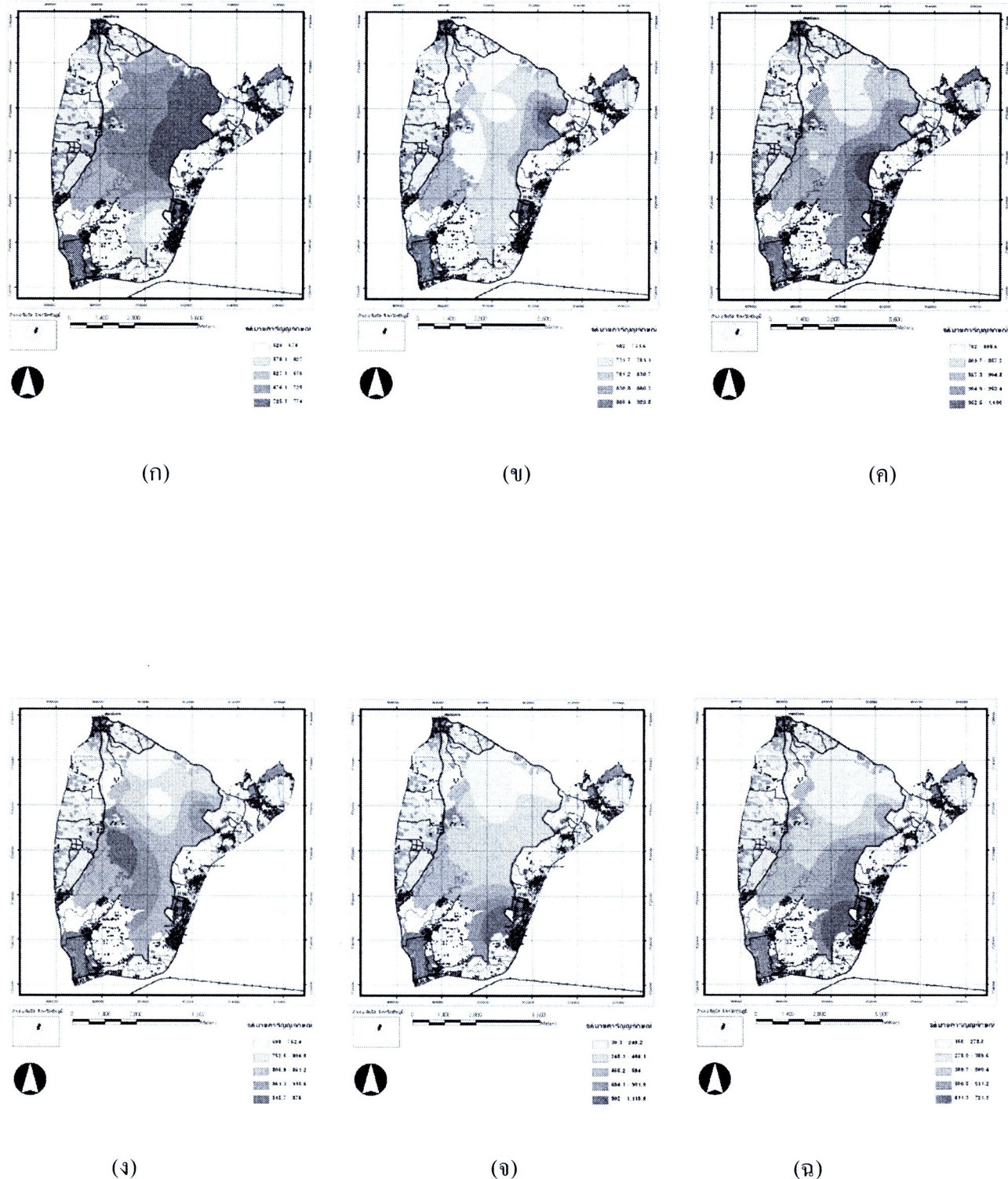
4.4.2 ความเป็นกรด – เบส



ภาพที่ 48 แผนที่ความเป็นกรด - เบสในแต่ละเดือน เดือนพฤษภาคม พ.ศ. 2552 (ก) มกราคม (ข)

มีนาคม (ค) พฤษภาคม (ง) สิงหาคม (จ) และกันยายน พ.ศ. 2553 (น)

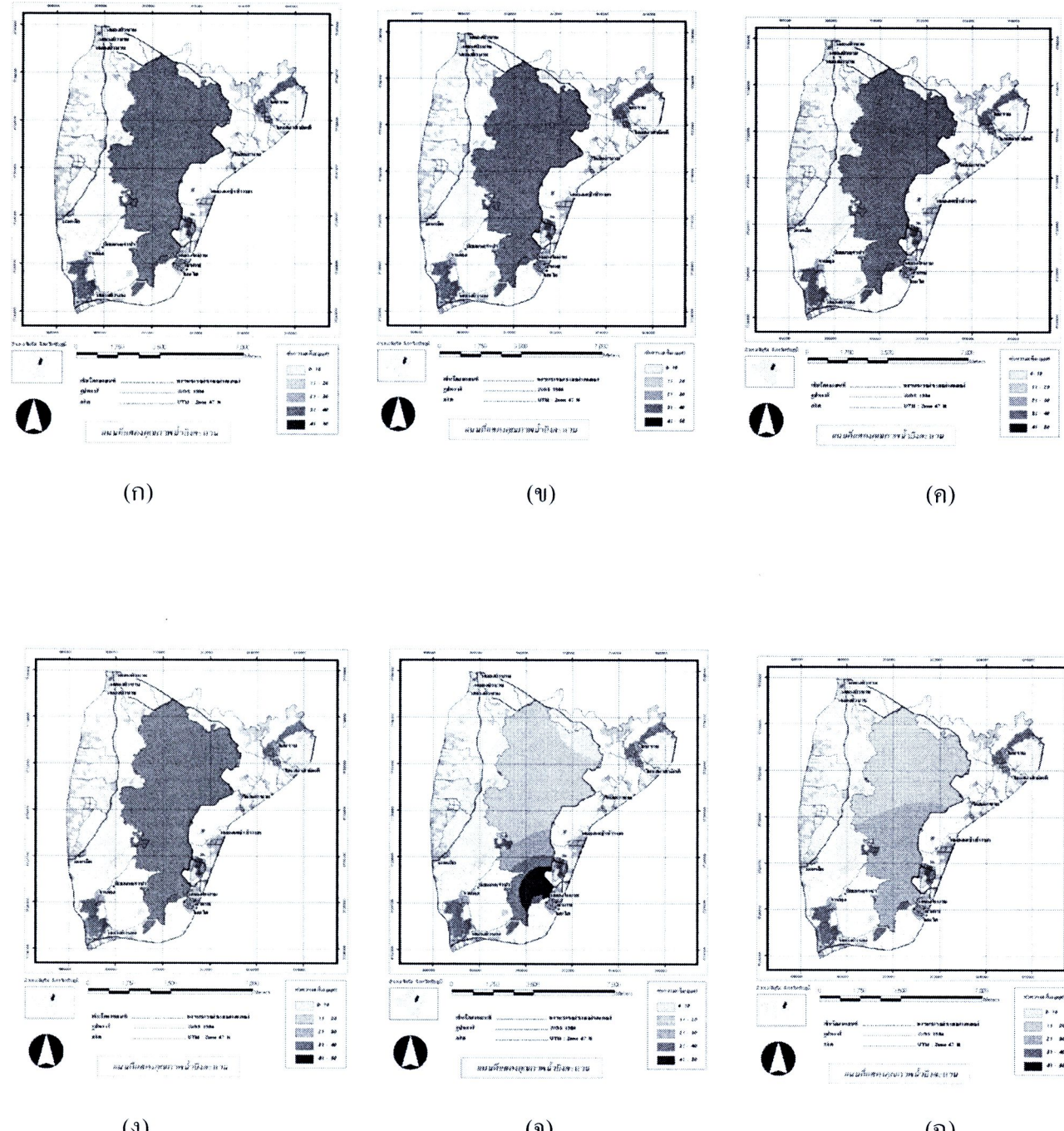
4.4.3 การนำไฟฟ้า



ภาพที่ 49 แผนที่การนำไฟฟ้าในแต่ละเดือน พฤศจิกายน พ.ศ. 2552 (ก) มกราคม (ข) มีนาคม (ค)

พฤษภาคม (จ) สิงหาคม (ช) และกันยายน พ.ศ. 2553 (ฉ)

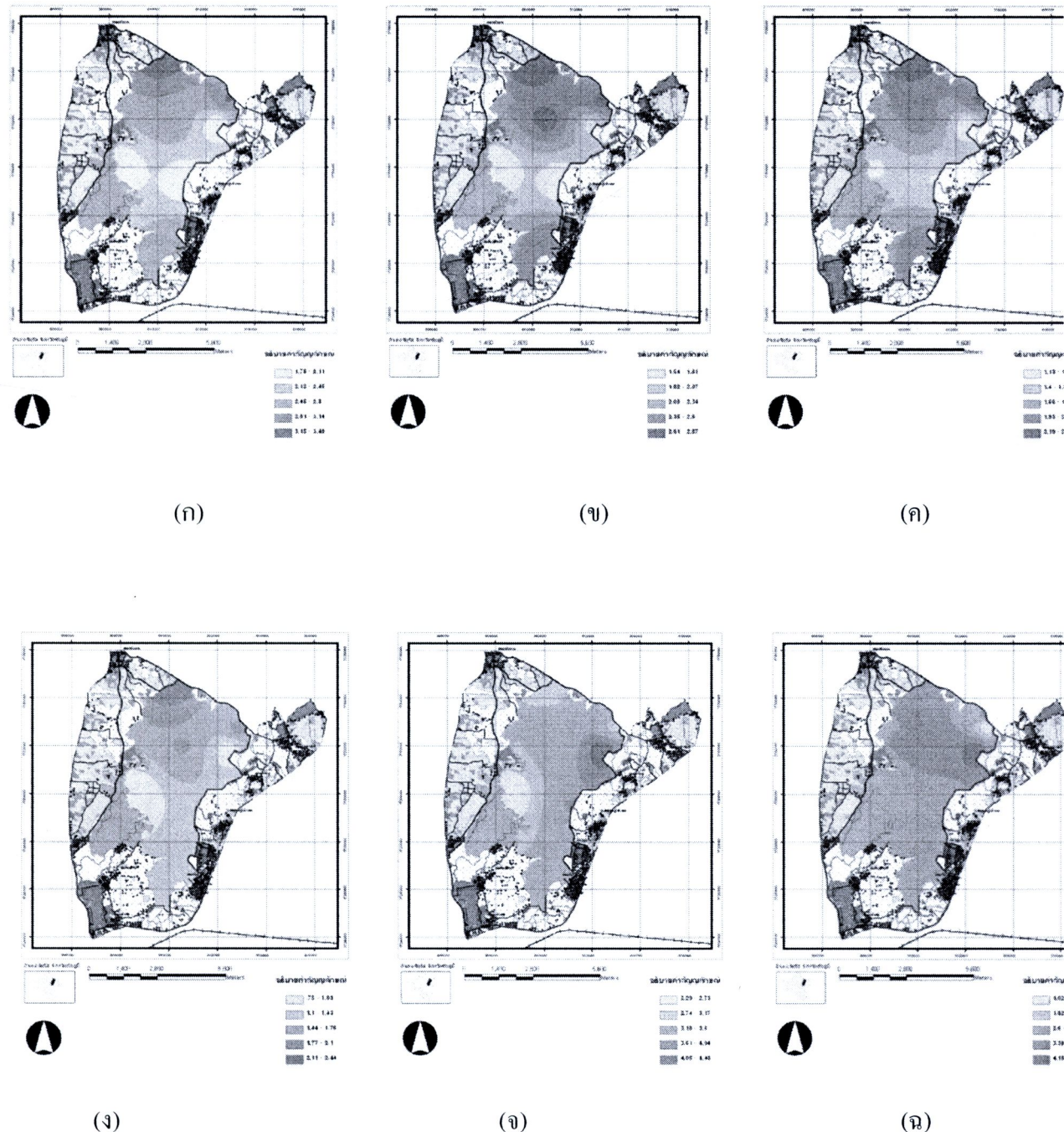
4.4.4 ความเค็ม



ภาพที่ 50 แผนที่ความเค็มในแต่ละเดือน พฤศจิกายน พ.ศ. 2552 (ก) มกราคม (ข) มีนาคม (ค)

พฤษภาคม (ง) สิงหาคม (จ) และกันยายน พ.ศ. 2553 (น)

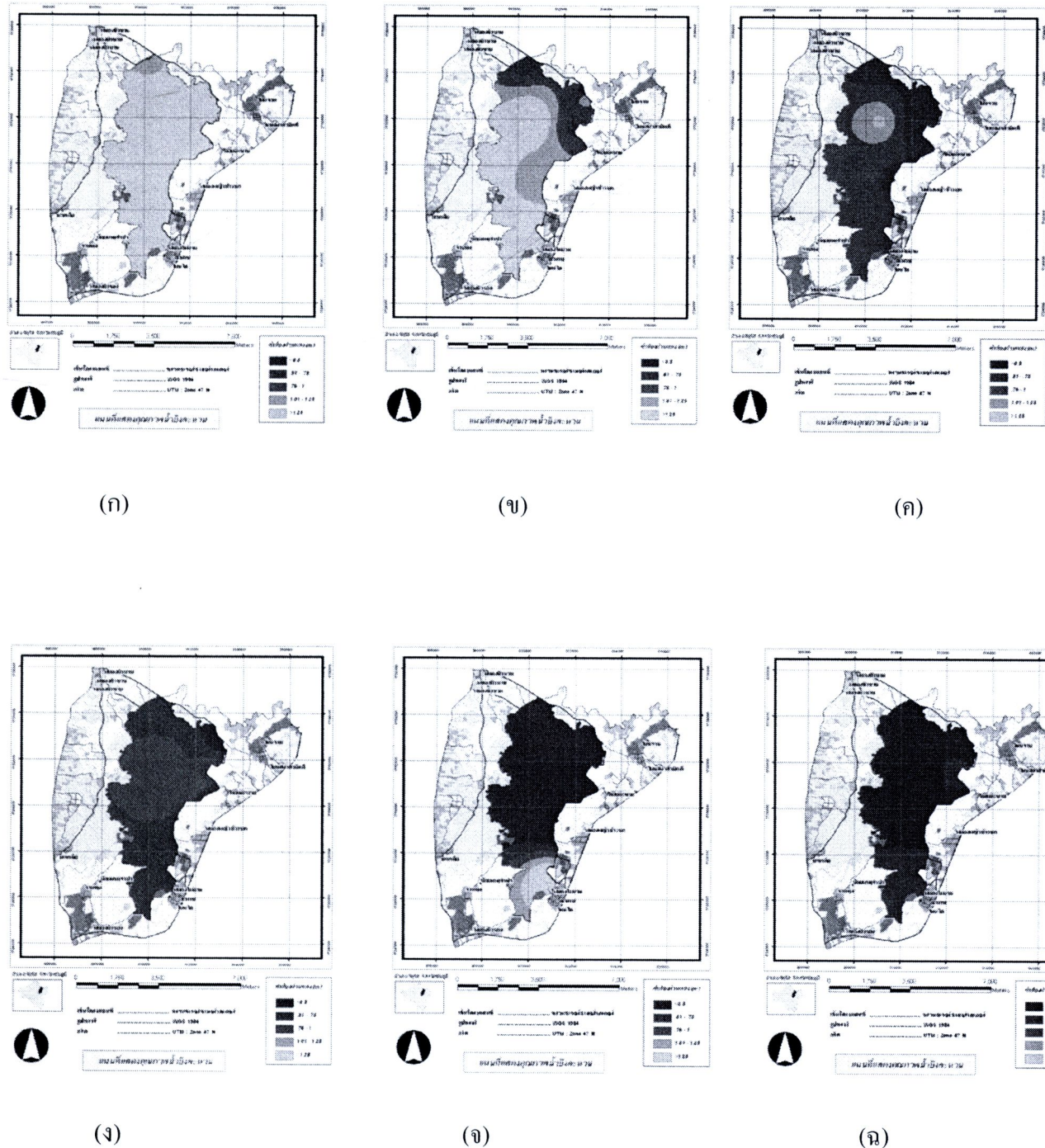
4.4.5 ความลึก



ภาพที่ 51 แผนที่ความลึกในแต่ละเดือนพฤษภาคม พ.ศ. 2552 (ก) มกราคม (ง) มีนาคม (ห)

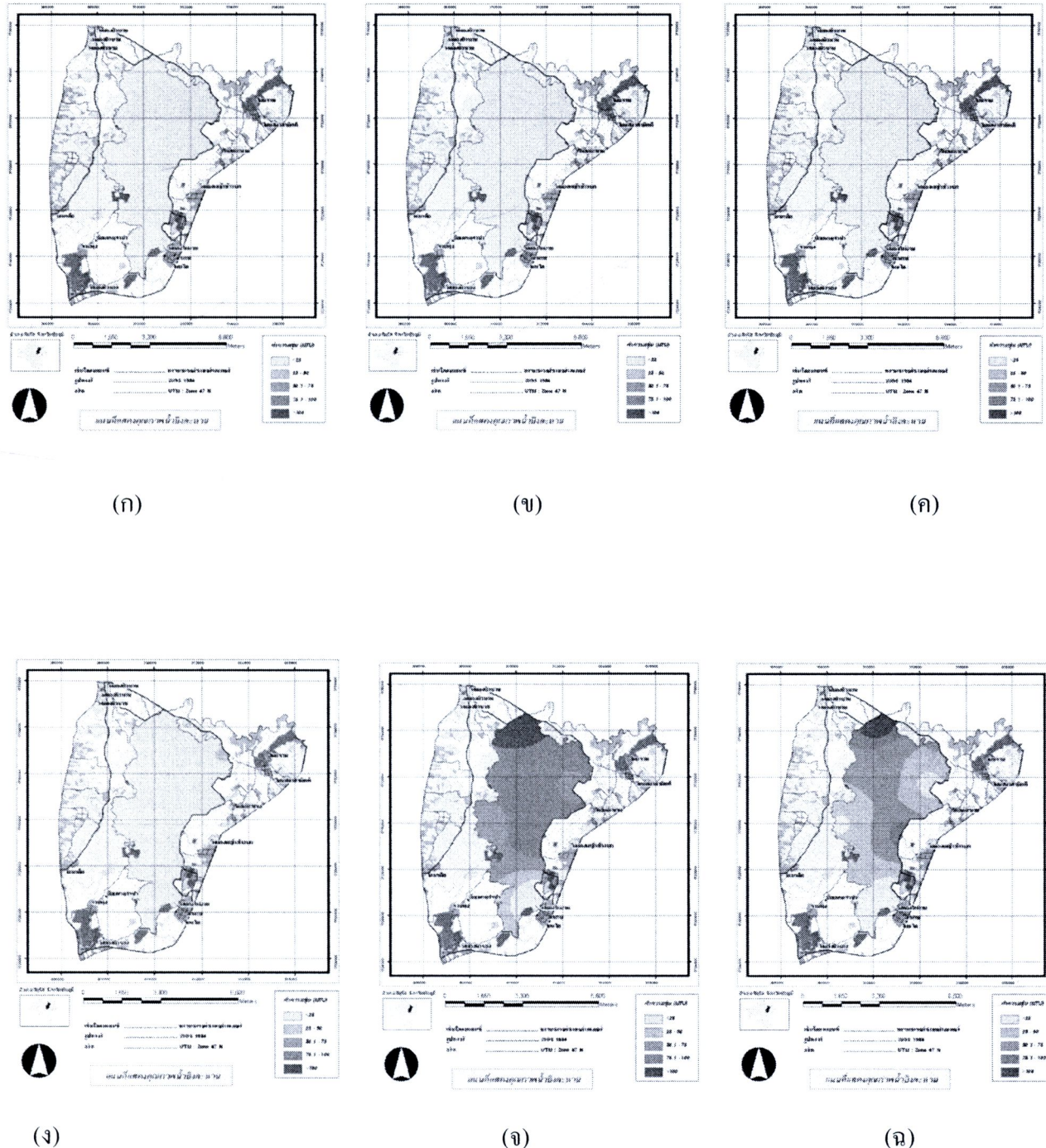
พฤษภาคม (จ) สิงหาคม (ฉ) และกันยายน พ.ศ. 2553 (ฉ)

4.4.6 การส่องผ่านแสงของน้ำ



ภาพที่ 52 แผนที่ความส่องผ่านแสงของน้ำในแต่ละเดือนพฤษภาคม พ.ศ. 2552 (ก) มกราคม (ข)
มีนาคม (ค) พฤษภาคม (ง) สิงหาคม (จ) และกันยายน พ.ศ. 2553 (น)

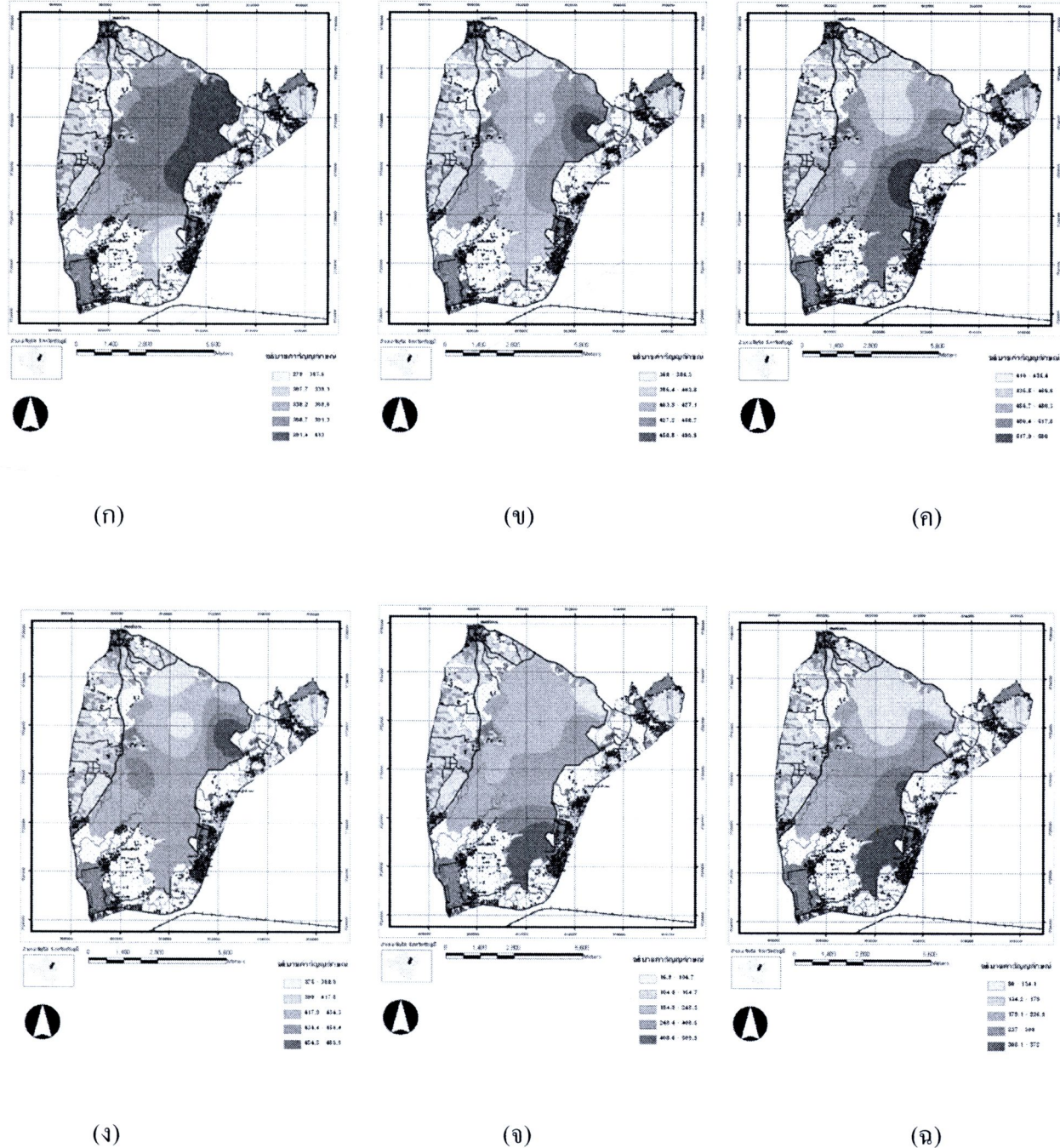
4.4.7 ความชื้น



ภาพที่ 53 แผนที่ความชื้นของน้ำในแต่ละเดือนพฤษศาสตร์ พ.ศ. 2552 (ก) มกราคม (ก) มีนาคม (ก)

พฤษภาคม (ก) สิงหาคม (ก) และกันยายน พ.ศ. 2553 (ก)

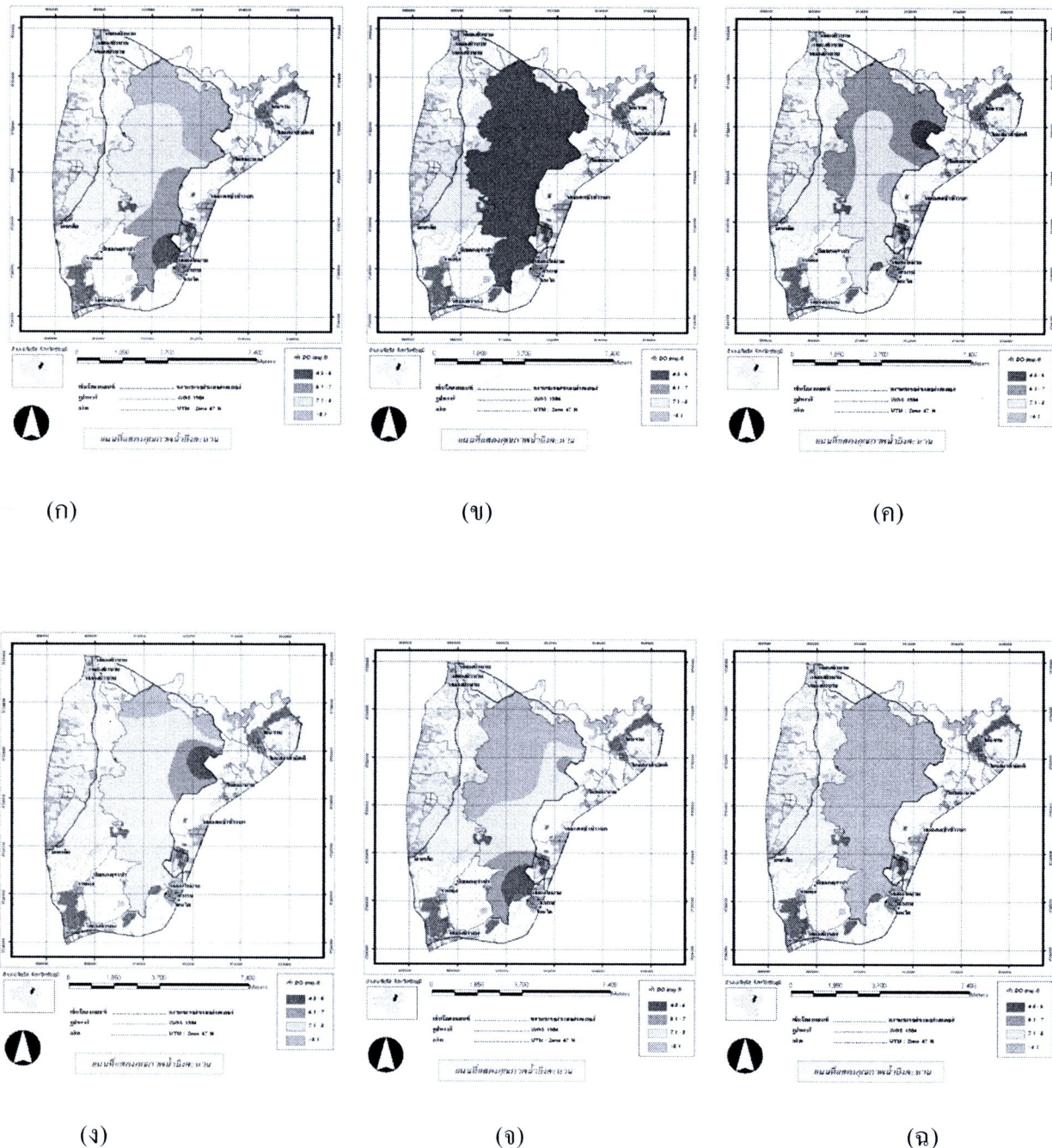
4.4.8 ของแข็งละลายทึ้งหมุด



ภาพที่ 54 แผนที่ของแข็งละลายทึ้งหมุดในแต่ละเดือนพฤษภาคม พ.ศ. 2552 (ก) มกราคม (บ)

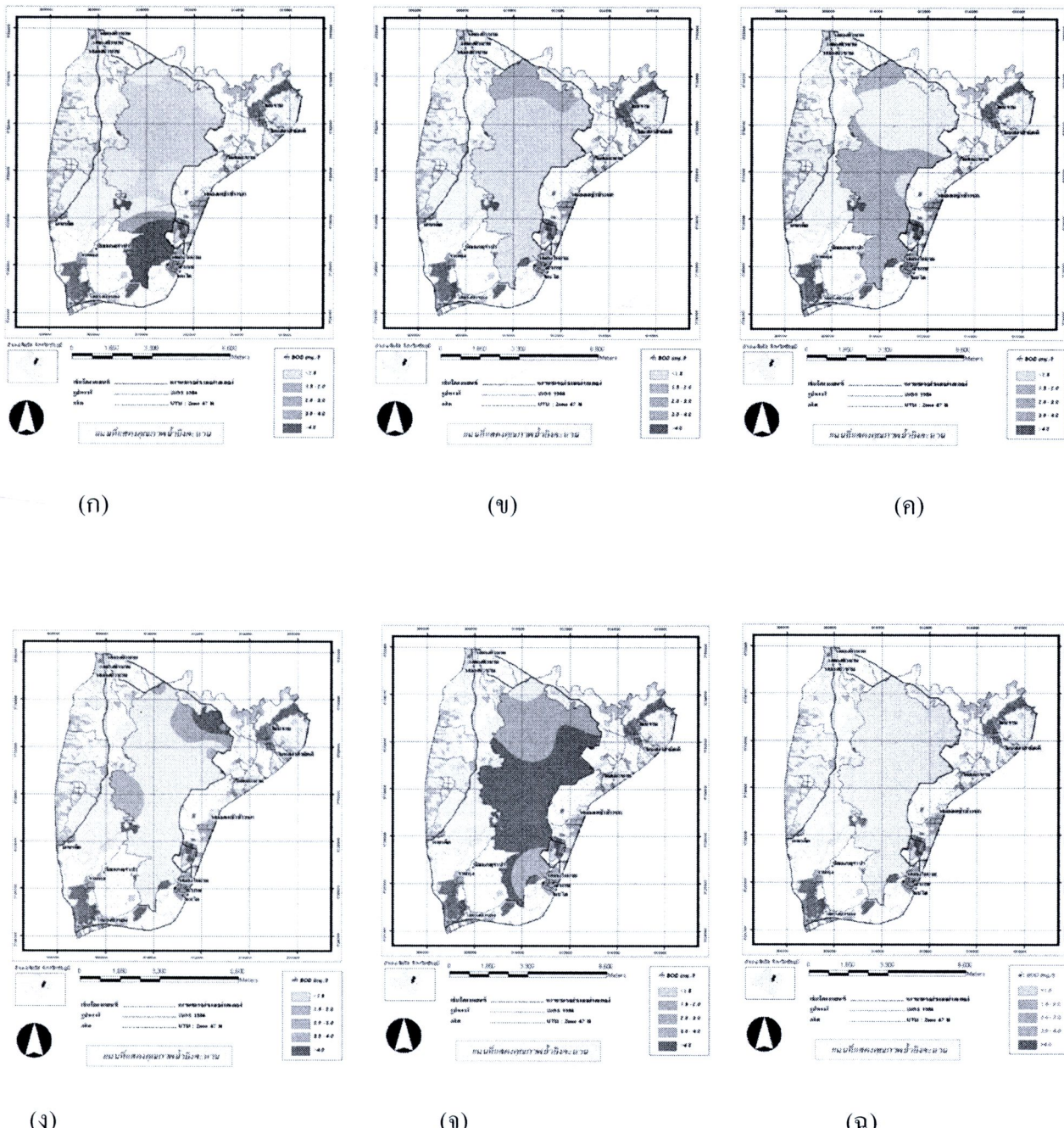
มีนาคม (ค) พฤษภาคม (ง) สิงหาคม (จ) และกันยายน พ.ศ. 2553 (ฉ)

4.4.9 ออกซิเจนละลายน้ำ



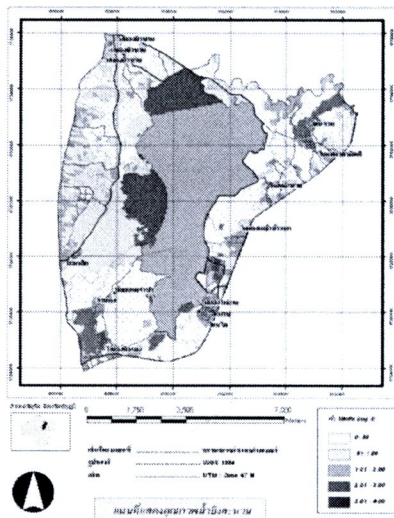
ภาพที่ 55 แผนที่ออกซิเจนละลายน้ำในแต่ละเดือนพฤษภาคม พ.ศ. 2552 (ก) มกราคม (ข) มีนาคม (ค) พฤษภาคม (ง) สิงหาคม (จ) และกันยายน พ.ศ. 2553 (ฉ)

4.4.10 ความต้องการออกซิเจนทางชีวเคมี หรือ นีโอดี

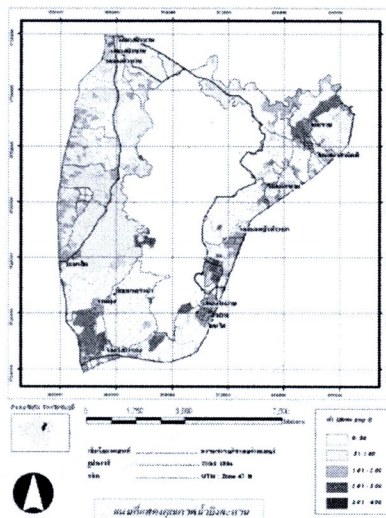


ภาพที่ 56 แผนที่แสดงค่า�ีโอดีในแต่ละเดือนพฤษจิกายน พ.ศ. 2552 (ก) มกราคม (ข) มีนาคม (ค)
พฤษภาคม (ง) สิงหาคม (จ) และกันยายน พ.ศ. 2553 (ฉบ)

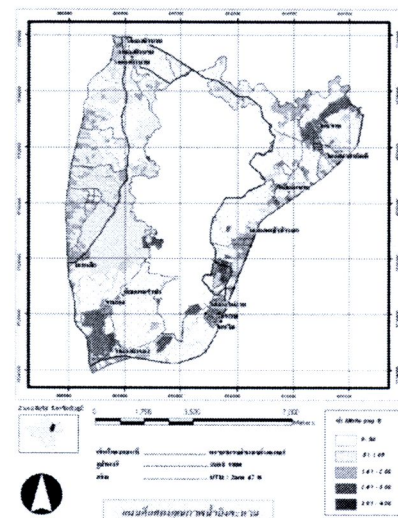
4.4.11 ไนไตรท์ - ไนโตรเจน



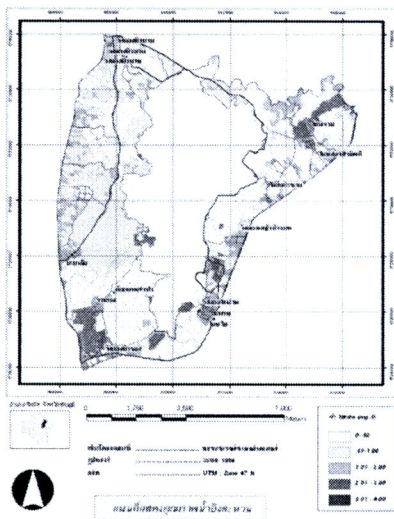
(ก)



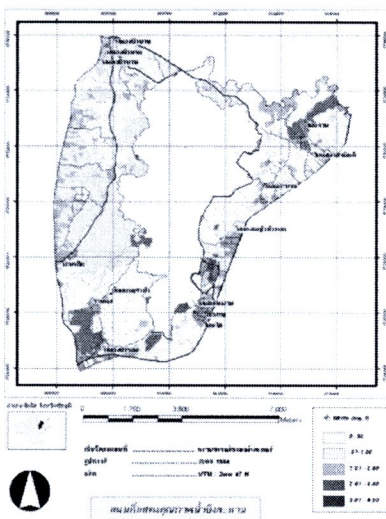
(ก)



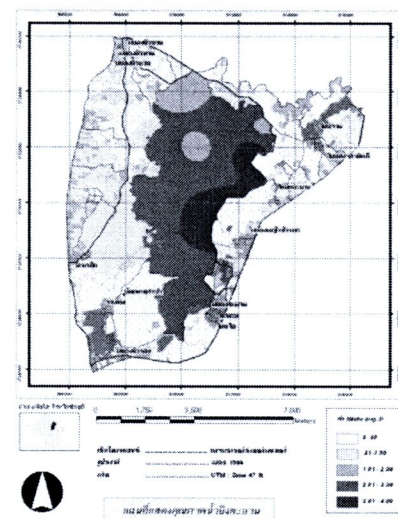
(ก)



(ก)



(ก)

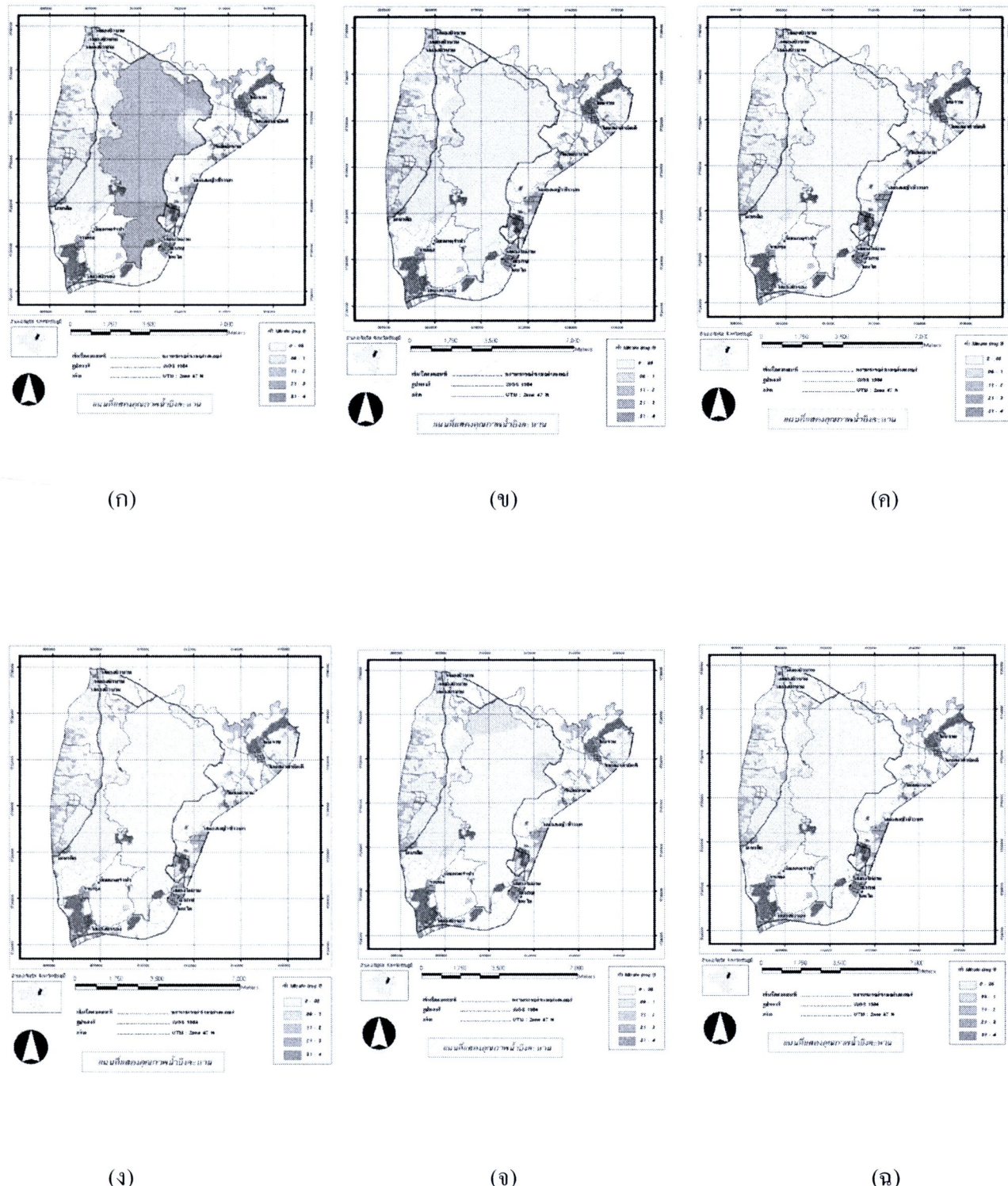


(ก)

ภาพที่ 57 แผนที่แสดงค่าไนไตรท์ - ไนโตรเจนในแต่ละเดือนพฤษศาสตร์ พ.ศ. 2552 (ก) มกราคม

(ข) มีนาคม (ก) พฤษภาคม (ง) สิงหาคม (จ) และกันยายน พ.ศ. 2553 (ก)

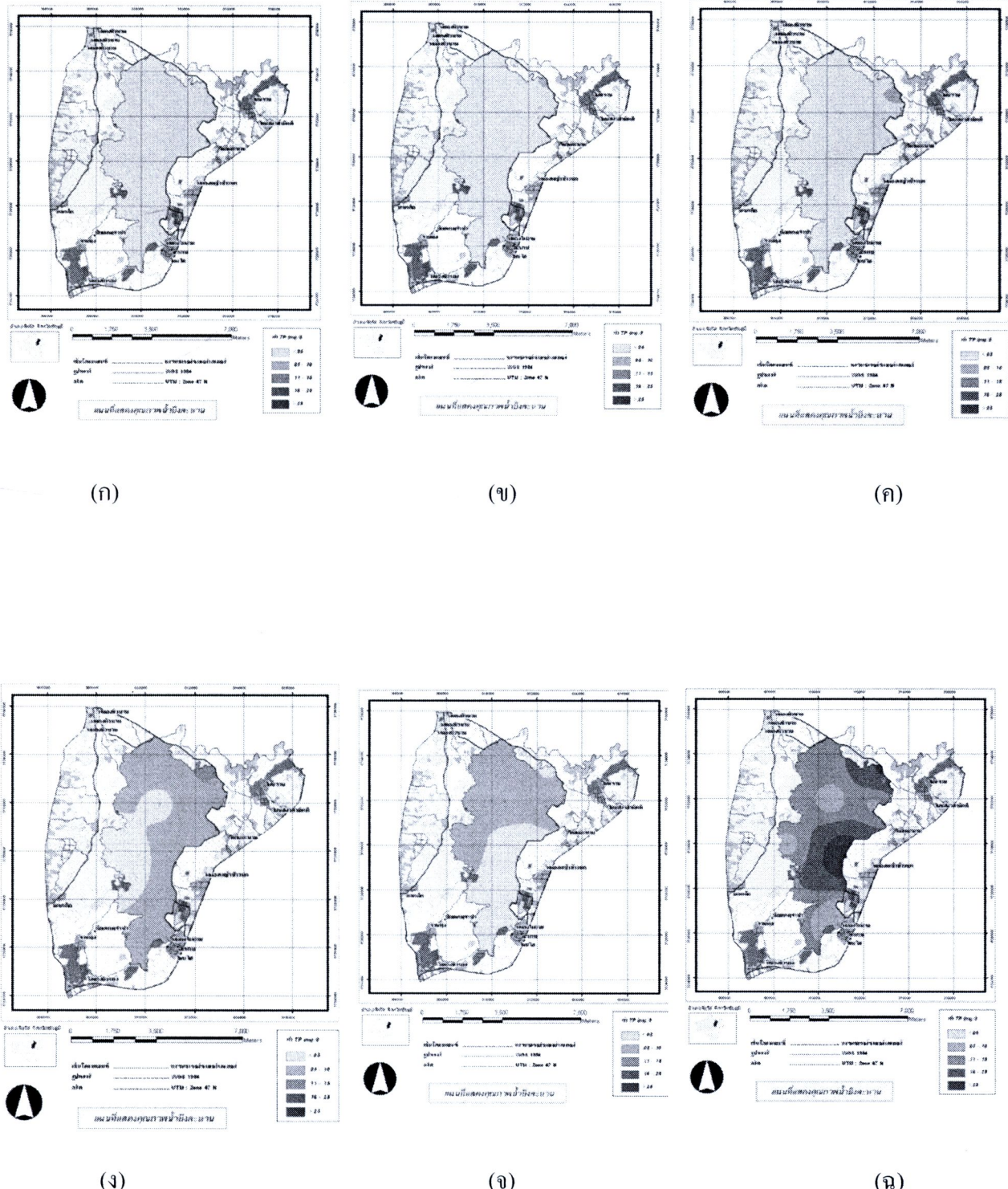
4.4.12 ไนเตรท - ไนโตรเจน



ภาพที่ 58 แผนที่แสดงค่าไนเตรท - ไนโตรเจนในแต่ละเดือน พฤศจิกายน พ.ศ. 2552 (ก) มกราคม

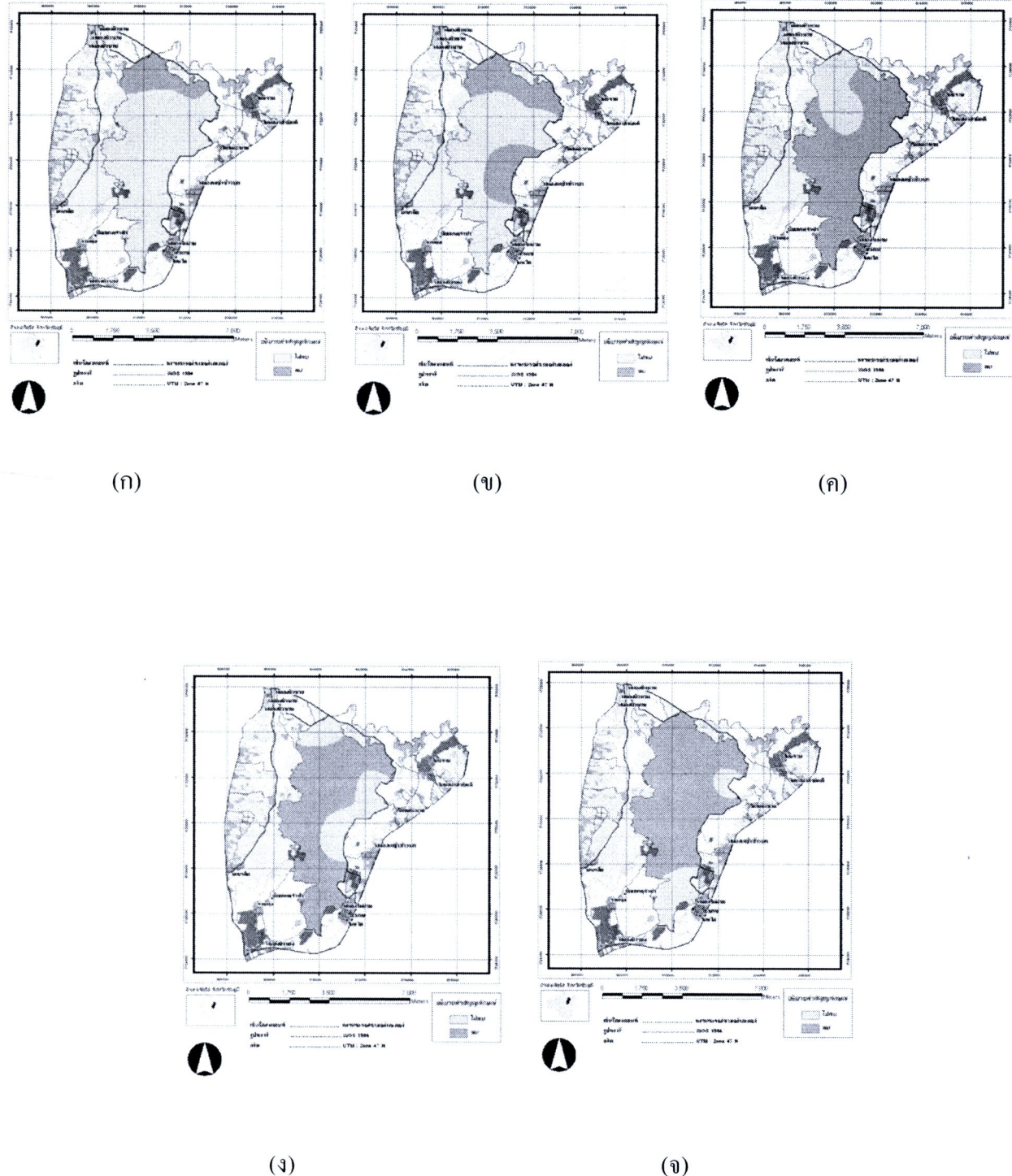
(ข) มีนาคม (ค) พฤษภาคม (ง) สิงหาคม (จ) และกันยายน พ.ศ. 2553 (ฉ)

4.4.13 ฟอสฟอรัสทั้งหมด



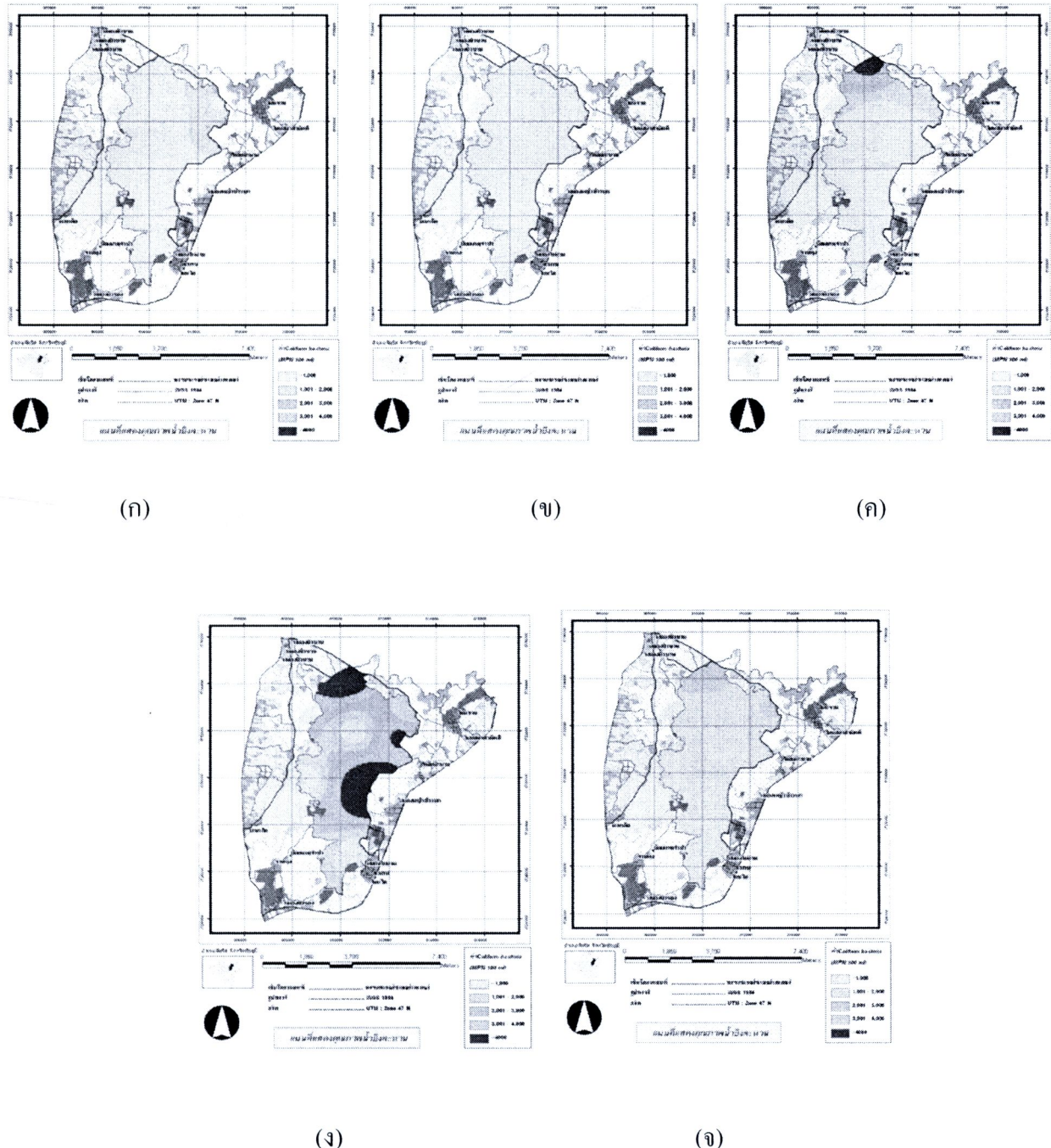
ภาพที่ 59 แผนที่แสดงค่าฟอสฟอรัสทั้งหมดในแต่ละเดือนพฤษภาภัย พ.ศ. 2552 (ก) มกราคม (ข) มีนาคม (ค) พฤษภาคม (ง) สิงหาคม (จ) และกันยายน พ.ศ. 2553 (ฉบ)

4.4.14 E. coli



ภาพที่ 60 แผนที่แสดงการพบร. E. coli ในแต่ละเดือนกราคม (ก) มีนาคม (ข) พฤษภาคม (ค)
สิงหาคม (ง) และกันยายน พ.ศ. 2553 (จ)

4.4.15 โคลิฟอร์มแบคทีเรีย



ภาพที่ 61 แผนที่แสดงปริมาณโคลิฟอร์มแบคทีเรียที่พบในแต่ละเดือนมกราคม (ก) มีนาคม (ข)
พฤษภาคม (ค) สิงหาคม (ง) และกันยายน พ.ศ. 2553 (จ)